

Fe Si_x

Система Fe - Si

Симультанная

1876

VI 1547

Fe₃Si, kp, (o Hf)

Trost and Hautefeuille

2. Ann. chim. phys. 7, 155 (1876)

Circ. 500

M.

F

VI 1546

1891

Fe₃Si kp, (δ Hf)

Osmond

2. Compt. rend. 113, 474 (1891)

Circ. 500

M.

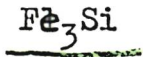
F

VI 1544

1901

Campbell

4. J. Iron Steel Inst. (London), 59, 211,
(1901)



(_a Hf)

Circ. 500

M.

F

VI 1537

1922

FeSi, Te, Se (Gp)

Padoci

Gazz. chim. ital., 1922, 52, 25

Исследование методом индукции

Be.

б-хах иен

Fe Si

Bop - 1534-11

1930

(Tm)

Haughton F. &
Beekler M. L.

F. Iron Steel Fist.

1930, 121, 315-35.

Fe, Si

Bsp - 1418 - VI

1930

(Tm)

Hummitzsch W,
Sauerwald F

Z. Anorg. Chem.

1930, 194, 120-38.

Fe₂Si₂

B92-1543-VI

1932

Wöhler L.

Sekundff. d.

(Kp)

Alf

Z. anorg. allg. Chem.

1932, 209, 539.

VI 1536

1936

Korber, Oelsen

Mitt. Kaiser, Wilhelm-Inst.

Eisenforsch. Ousseldorf, 1936, 18, 109

FeSi

△ Hf

M.

F

Hem f^δ-kar

V 2305

1936

Korber F.

2. Stahl u. Eisen 56, 1401-11 (1936)

(Cu_3Sn ; Ni_3Sn_3 ; CoSi ; Co_2Si ; CoSn ; FeSi ; FeSn ;
 AlCu ; AlCo ; AlFe_3 ; AlFe_3) Kp; (ΔHf)

Circ. 500

W.

Est.

Л. С. Т. В. С. К.

1948

VI-1465

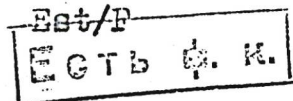
Si, $(Fe_3C)_2$, $\underline{(FeSi)_6}$ (Mn, Sm)

Ахунов Е.И.

Ж. пром химии, 1948, 21, 227-234

Calculation of the heat...

Ec



1954

V-1535

SiFe (Ttr, Δ Htr, Cp)

Hirone T., Maeda S., Chiba S.,
Tsuya N.

J.Phys.Soc.Japan, 1954, 9, N4, 500-502.

Thermal analysis of iron sulfides at
the temperature range of B-transformation.

Est/

ЕСТЬ О. К.

RX., 1956, N1, 359

Be

Серебренников Н.Н., Галло П.В.

1954

Fe Si

ДАН, 1954, № 1, 695

зета

Германия

$c_p > 298$

Температура β -фазы снизится
на 1000 - 1200 °C

(45% ферросилиция)
75% ферросилиция)

53,4% Si 0-1200 °C

Исходный газ содержит 99,2% г

$$H - H_{273,1} = 0,1635T + 10,59 \cdot 10^6 T^2 + 2588T^{-1}$$
$$(0 - 908^\circ C) - 54,86$$

$$H - H_{273,1} = 0,141T + 26,25 \cdot 10^{-6}T^2 - 40,314$$
$$(безу 908^\circ C)$$

$$C_p = 0,1635 + 21,18 \cdot 10^6 T - 2588 T^2$$

$$C_p = 0,141 + 52,5 \cdot 10^{-6}T$$
$$\Delta H_{908} = 6-7 \text{ ккал/кг}$$

Серебренников Н.Н., ТельдР.В. | 1954

Fe Si
(Мебон)

ДАН, 1954, 97, №5, 827 - 830

Дилатометрическое исследование

Темпер-
помехарф.
предваритель-

ζ -фазы (зета-фазы) -
системы титано - кремний

T_{t2}

Прибор сконструирован из Si(99,3),
содержащий 53,38% Si. Температура превра-
щений 635° и 990°C (по Термосодействию
 908°C , по Термограммам $\theta 500^{\circ}\text{C}$)

Высокотемп. и низкотемп. модиф. прибора
состоит из тонкой ваты:

объяснение явления, указанных Курманом
и Чрзловским, - о расстоянии между Fe и Si

VI 1540

1956'

FeSi₂ (Ttr)

Фабрикосов Н.Х.

Изв. Сектора физ.-хим. анализа ИАНХ АН СССР,
1956, 27, 157-63.

Исследование системы

соединения

FeSi₂.

РХ, 1957, 18500.

Fe-Se в области

Б

Est.f.k.
Есть ф.к.

VI 1533

1956

Mg (P)

FeSi, Fe₂Si₅ (ζ F)

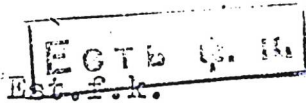
Ellingsacter B., Rosengvist T.

J. Metals, 1956, 8, N 8, Sec.1, 1111-12

Silicothermic reduction of magnesia and
ferrosilicon activities.

PJM., 1957, 9635

M



1956

VI-1545

Fe₃Si (Ttr)

Glaser F.W., Ivanick W.

J.Metals, 1956, 8, N10, Sec.2, 1290-95.

Study of the Fe-Si order-disorder transformation.

Est

Eсть ф.к.

Be

RX., 1957, 60082.

Б9-921-VI

1957

FeSi₂

Абрыковов Н.Х.

(T+Z)

Узб. АН СССР,
сеп. физ., 1957, 21,
N1, 141-45.

№ - 1548

Fe, Si

Bsp-5532-IV

1957

Бабургов К.Н.

Теле69 №. В. и. гр.

(Cp)

"Физ. хим. свойства
нр-ва смеси

М. АН. СССР.

1957, 350-69, back

408-409

VI 1542 ..

1958

FeSi_{2,4}, MnSi_{0,9} (Tm, △ Hm)

Гельд П. В., Серебренников Н. Н., Корнилов В. В..

Изв. высш. учебн. заведений. Техн. наст. изв.
1958, № 7, 53-62.

О теплотах плавления силицидов.

PJM., 1959, 14197

Б

~~ЕСТЬ Ф. К.~~
Est, f.k.

Fe-Si

[B92-5529-IV] [1958]

Консультант В.И.

Быкович Б.И.

(данный) № к. бесср. хр. №.

заключение. ЧГП. 1115.

1958, № 1, 83-93

Вершина А.А.

1958

Fe₃Si

Сахарин А.Н.

Fe₃Si₂

Докл. Диссеп., 1958, 120, N.2,
309-310.

FeSi₂

Оформление существований
кристаллов в жидкое же-
лезо.

X-59-4-10998

VI 1326

1959

Fe Si (SHm)

Fe₁₂Si₁₁Mn₅ (DFf)

Bonnier M. E.

Chimie hautes températ. Paris,
CNRS, 1959, 153-176.

PX, 1960, 29894.

8eme q.k.
Б, М.

Fe, Si omitted (445-IV-139) 1960

oblagot.
npu
c. u. c. e. s. e. c. e. r.
(Fe + Si)

Tecog T. u. u. g. p.
Fiz. u. em. u
liemandloheg.
1960, 10, 299-300.

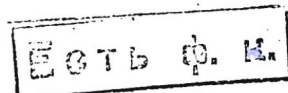
VI 1541

1960

$\text{FeSi}_{2.4}, \text{MnSi}_{0.9}$ (δHm)

Гельф П. В. Коршунов В. А. Титовчуковский М. С.,
изд. АН СССР. Отд. техн. н. Металургия. Ч.
Томск, 1960, № 6, 129-34. Сб. Строение и свой-
ства легк. металлов. М., 1960, 178-188.

Некоторые особенности легких сплавов
железа с железом марганцем и хромом.



Est. f. k.

PJM., 1961, GA32

Б

51M

6 3230-61 1969

Si-Co; Si-N; Si-Fe (с Имик)

Сривалин И.Т., Есин О.А.

Физ.Хим.Основы Произв. стали,
АН СССР, Инст. Мет. Тр. 6-й Конф.
Москва, 1961, 395-9

Температуры смешения и образования...

W



1

VI 6599

1961

Fe-Si (Ttr)

Tanner L.E., Kulin S.A.,

Acta metallurg., 1961, 9, N 11, 1038-1040

The effect of pressure on the $\text{L} \rightleftharpoons \text{J}$
transformation in the iron-silicon system

PAC-QP. 5E4S1

1

1962

ЗР- VI-2206

Fe - Si

 ΔH_{mix}

22 Б306. К термохимии жидких сплавов железа с кремнием. Гертман Ю. М., Гельд П. В. «Ж. физ. химии», 1962, № 7, 1477—1482 (рез. англ.)

В высокотемпературном калориметре в атмосфере водорода измерены теплоты смешения железа с кремнием в жидкому состоянии при 1525°. В спец. приборе, описание которого приводится, определены плотности (d) расплавов Fe — Si при 1500°. Измерения проведены в широком интервале составов. Для 50 ат.% Si $\Delta H_{Si} = -5,5$; $\Delta H_{Fe} = -17$; $\Delta H = -10,7$ ккал/г-атом и $d = 6,00$ г/см³. На основе рассмотрения концентрационных зависимостей d и парц. и интегральных теплот смешения высказано предположение о микронеоднородности расплавов Fe — Si, об образовании в них группировок FeSi и, возможно, FeSi_{2,4}. В. Гейдерих

x. 1963. 22

1962

Felix

Sobetvin Yu. N.

1HJ

Heats of formation and the
nature of the chemical bonds
of the transition metal
silicides.

Mg; X

Zh. Fiz. Khim. 36, 1315 (1962)

C.A. 1962 57:9 (10536; -10537a) (See Ca)

FeSi_x

*Силициды
железа*

Cp

В9Р - 1539 - VI

1962

8 Б353. Термоемкость силицидов железа в интервале 55—300° К. Кренцис Р. П., Гельд П. В. «Физ. металлов и металловедение», 1962, 13, № 2, 319—320

C_p Fe₃Si, Fe₅Si, FeSi, FeSi₂ и FeSi_{2,33} при 55—300° К измерена в адиабатич. калориметре. У всех исследованных в-в не обнаружено аномалий в температурном ходе теплоемкости. Измеренные C_p и вычисленные на их основании $S^0_{298,16}$ силицидов железа сравниены (графически и в таблицах) с рассчитанными по правилу аддитивности. Результаты сравнения кратко обсуждены.

Э. Серегин

X · 1963 · 8

1962

B99 - 1539-VI

Fe₃SiFe₅Si₃FeSiFeSi₂FeSi_{2.33} $C_p < 300^{\circ}\text{K}$

Heat capacity of iron silicides at 55–300°K. R. P. Krentsis and P. V. Gel'd. *Fiz. Metal. i Metalloved.* 13, 319–20(1962). The effect was studied of temp. (T) on the heat capacity (C_p) of Fe_3Si , Fe_5Si_3 , FeSi , FeSi_2 , and $\text{FeSi}_{2.33}$. A low-temp. adiabatic calorimeter was used for detg. C_p . Entropy was calcd. by graphical integration of the C_p vs. T curves. The data obtained were tabulated and compared with values calcd. by the additivity rule: Fe_3Si (α -phase) 24.76 and 23.97, Fe_5Si_3 (η -phase) 49.89 and 45.94, FeSi (ϵ -phase) 11.00 and 10.99, FeSi_2 (β -lebeauite) 13.26 and 15.48; and $\text{FeSi}_{2.33}$ (α -lebeauite) 16.58 and 16.97 cal./degree-mole. The C_p of FeSi decreased sharply with decreasing temp. and became smaller than C_p of Si, whereas at 200°K. it was relatively large. Evidently this is caused by the presence in the FeSi lattice of nonequiv. bonds, part of which are excited only at elevated temps. CA

C.A. 1962. 57.6.
6696d

Fe₃Si

21 Б158. К термохимии силицидов железа, теплоемкость, энталпия и энтропия Fe₃Si. Крепцис Р. П., Гельд П. В. «Изв. высш. учебн. заведений. Чели. металлургия», 1962, № 11, 12—19

1962

Определены ΔH , C_p и S полностью упорядоченного твердого р-ра Fe₃Si, изготовленного сплавлением Fe и Si в атмосфере Ar. Продукт содержал 14,25 вес.% Si. Измерения C_p в интервале 55—300° К проводились в адиабатич. калориметре. Энталпия в интервале 20—1500° С измерялась в адиабатич. калориметре смещения. Ошибка всех измерений ~1%. В интервале 0—55° К использовали C_p , полученную графич. экстраполированием; получена $\Delta H_{273}^{\circ} = 3560$ кал/моль. Кривая энталпии характеризуется тремя четкими аномалиями: вблизи 835° К — магнитное превращение, 1325° К — структурное разупорядочение и 1524—1536° К — плавление силицида. Предложены следующие ур-ния: $\Delta H_{273,16}^T = -27,70 + 0,08712T + 0,5335 \cdot 10^{-4}T^2 - 18,18T^{-1}$ кал/г ($\pm 0,8\%$, 273—800° К);

$\Delta H_{273,16}^T = -3,018 + 0,05761T + 0,6311 \cdot 10^{-4}T^2 - 4758 T^{-1}$ кал/г ($\pm 1,2\%$, 900—1520° К); $\Delta H_{273,16}^T = 42,7 + 0,177 T$ кал/г ($\pm 0,1\%$, 1540—1800° К). Рассчи-

8298,
 $H_T - H_{273}$

ΔH_f

Х. 1963. 21

сост. к/о б

тана энтропия силицида для исследованного интервала т-р; $S^{\circ}_{298} = 24,76 (\pm 0,6\%)$ энтр. ед., которая отличается от аддитивной на $\sim 3\%$. Скачок энтропии при разупорядочении твердого р-ра выше 1300°K $\Delta S = 4,47$ энтр. ед. Теплота плавления, приведенная к 1530°K (середина интервала плавления) $L(\text{пл.}) \approx 70 \pm 6$ кал/г. Рассчитана теплота образования твердого Fe_3Si при 20°C по ур-нию $3\text{Fe}(\text{тв.}) + \text{Si}(\text{тв.}) \rightarrow \text{Fe}_3\text{Si}(\text{тв.})$, равная 18,3 ккал/моль. С. Горбов

0,10²

1969

Thermochemistry of iron silicides; heat capacity, enthalpy, and entropy of Fe_3Si . R. P. Krentsis and P. V. Gel'd. *Izv. Vysshikh Uchebn. Zavedenii, Chernaya Met.* 5, No. 11, 12-19 (1962).

A stoichiometric mixt. (130 g.) of Si single crystals and reduced Fe (C 0.02, Si, Mn, Ni, P 0.006 each, and Cr and S 0.003% each) was melted in an atm. of Ar in a hermetic induction furnace, and the obtained alloy was homogenized by long-time heating *in vacuo* at 1050° with subsequent slow cooling. The homogeneity of obtained specimens was verified metallographically and by x-rays. Heat capacity was detd. calorimetrically at $55-300^\circ\text{K}$. Enthalpy was detd. at $20-1500^\circ$, and the results were reduced to 273.16°K ., the value of molar enthalpy at 273.16°K . of 3650 cal./mole being used. Three anomalies were discovered on the curve of temp. dependence of enthalpy: (1) at 835°K . which corresponds to magnetic transformation. (Curie temp. was detd. at about 560°), (2) at 1325°K . corresponding to temp. of structural disordering, and (3) at $1524-36^\circ\text{K}$. corresponding to the m.p. Up to 800°K . the rule of additivity of heat capacity is followed satisfactorily (deviation of exptl. data from calcd. is only 2-4%). However, above the temp. of magnetic disordering (835°K .), deviations are large, up to 30%. Heat of formation of solid Fe_3Si from the elements was calcd. as -18.3 kcal./mole, which value is believed to be more reliable than that given by Koerber and Oelsen (CA 31, 637³). 15 references.

C.A. 1963-589

8463

CA

FeSi

B P-2206-VI

1962

ΔH_{mix} ,
 ΔH

Герман Ю. Н.
Федор Г. В.

Ж. физ. химии 1962,
36, № 7, 1477-82.

2328 VI

1963

Fe₃Si, Fe₅Si₃, FeSi, FeSi₂, FeSi_{2,33} (Cp, H)

Гельд П.В., Кренцис Р.П.

Физ.металлов и металловедения 1963, I5, № I,
63

О некоторых теплофизических характеристиках
силицидов железа.

PJM., 1963; 5A13

M., Be.

F Est. orig

BP-IV-2333

1963

FeSi_x

Some thermophysical characteristics of iron silicides. R. P. Krentsis and P. V. Gel'd. *Sb. Nauchn. Tr., Ural'sk. Politekhn. Inst.* No. 126, 95-9(1963). Single-cryst. Si and reduced Fe were melted together in ratios corresponding to compns. Fe_3Si , Fe_5Si_3 , and $FeSi$. Melting was done in quartz crucibles in an induction furnace, followed by heat treatment (to stabilize the structure). The phase compn. was detd. by chem., metallographic, and x-ray methods. By using nonhermetic and vacuum calorimeters (*CA* 56, 4548*i*), heat contents were detd. at several temps. All heat-content detns. were reduced to 273.16° K. Heat content detns. of solid and liquid Fe_3Si at 0–1500° showed 3 anomalies: at 835°K. (due to magnetic transformation), at 1325° K. (due to disordering of superstructure of Fe_3Si), and at 1524° K. (due to melting of Fe_3Si). Latent heat of fusion of Fe_3Si was 295 ± 25 , while that of Fe is 272 and of Si 1778 j./g., so that



C. I. 1964 6/17/77 J. C.

there is a large discrepancy between exptl. and theoretical (additive) values. This is a confirmation of observations made by Koerber and Oelsen (*CA* 31, 637³). Enthalpies for FeSi were detd. at 293.8-1371°K. and the temp. dependence of changes in heat content follow the following equation: $H^T_{273.15} = -154.7 + 0.5339T + 0.9100 \times 10^{-4}T^2 + 579.1T^{-1}$ j./g. Enthalpy of Fe_5Si_3 (η -phase) was detd. in a similar temp. range and corresponding equation was: $H^T_{273} = -149 + 0.5807T + 1249 \times 10^{-4}T^2 + 1162T^{-1}$ j./g.

GMJR

FeSi
Fe₅Si₃

Ср
И-И₁₉₉₈

| 16 Б414. К термохимии силицидов железа. Теплоемкость, энталпия и энтропия FeSi и Fe₅Si₃. Кренцис Р. П., Гельд П. В., Калишевич Т. И. «Изв. высш. учебн. заведений. Черн. металлургия», 1963, № 9, 161—168

1963

В
В
—
2
2
3
3
—
15

В адиабатич. калориметре измерены истинные теплоемкости (55—286° К) и в калориметрах смешения — энталпии силицидов железа FeSi (I) и Fe₅Si₃ (II). В образце I (ϵ -фаза) найдено 34,0% Si; образец II (η -фаза) был с примесью I (~0,8%) и содержал 24,02% Si. Полученные данные по C_p I и II и по $\Delta H_{273,16}^T$ I и II (при т-рах 300—1925° К) табулированы и представлены графически. Экстраполяцией к 298,16° К найдено: $C_{p,298,16}$ I = 0,136 и $C_{p,298,16}$ II = 0,131 кал/г·град. Из данных по C_p рассчитаны значения S_T . Получены следующие уравнения: для I (в интервале т-ра 273,16—1660° К): $\Delta H_{273,16}^T = -3100 + 10,59 \cdot T + 17,9 \cdot 10^{-4} \cdot T^2 + 1,95 \cdot 10^4 \cdot T^{-1}$ кал/моль ($\Delta \approx \pm 1,5\%$), $C_p = 10,59 + 35,8 \cdot 10^{-4} \cdot T - 1,95 \cdot 10^4 \cdot T^{-2}$ кал/град. моль, $S_T = -50,26 + 35,8 \cdot$

Х. 1964.

$\cdot 10^{-4} \cdot T + 9750 \cdot T^{-2} + 10,59 \cdot \ln T$ кал/град. моль; для I
(между 1675 и 1925°K) $\Delta H_{273,16}^T = -5970 + 19,5 \cdot T$ кал/
моль; для II (между 273,16 и 1350°K) $\Delta H_{273,16}^T =$
 $= -12650 + 42,13 \cdot T + 0,01062 \cdot T^2 + 96910 \cdot T^{-1}$ кал/моль
($\Delta \approx \pm 0,9\%$), $C_p = 42,13 + 0,02124 \cdot T - 96910 \cdot T^{-2}$ кал/
град. моль, $S_T = -197,1 + 0,02124 \cdot T + 48460 \cdot T^{-2} +$
 $+ 42,13 \cdot \ln T$ кал/град. моль. Т-ра плавления I найдена
равной 1675°K , ΔH (пл.) I $\sim 16,8$ ккал/моль. Результаты
измерений сопоставлены с литературными данными.
Отмечено, что правило Коппа и Неймана для расчета
 C_p в применении к силицидам железа в ряде случаев
не выполняется.

В. Леонидов

FeSi

Fe₅Si₃(ΔH, C_p, S_T)ΔH_{fusion})

The thermochemistry of iron silicides—the heat capacity, enthalpy, and entropy of FeSi and Fe₅Si₃. R. P. Krentsis, P. V. Gel'd, and G. I. Kalishevich. *Izv. Vysshikh Uchebn. Zavedenii, Chernaya Met.* 6(9), 161-8(1963). FeSi and Fe₅Si₃ were prep'd. from single-crystal Si and reduced Fe fused in quartz ampules under Ar. The ϵ -phase FeSi (34.0% Si by x-ray diffraction) was monophasic. The η -phase Fe₅Si₃ (24.02% Si by chem. analysis) required homogenization and pptn. by the peritectoid reaction but still contained FeSi. Heat capacities detd. adiabatically at 55-286°K. showed a monotonic increase with no anomalies. Enthalpies were measured by calorimetric mixing up to 1925°K. with calcns. of entropy, heat of fusion, and C_p. Fe₅Si₃ is only stable from 1100 to 1300°K. but decomposes very slowly. For FeSi: $\Delta H_{273.15}^T = -3100 + 10.59T + 17.9 \times 10^{-4}T^2 + 1.95 \times 10^4 T^{-1}$ cal./mole; $C_p = 10.59 + 35.8 \times 10^{-4}T - 1.95 \times 10^4 T^{-2}$ cal./degree mole; $S_T = -50.26 + 35.8 \times 10^{-4}T - 9750 T^{-2} + 10.59 \ln T$ cal./degree mole. $\Delta H_{fusion} = 16.8$ kcal./mole. For liq. FeSi (1675 to 1925°K.) $\Delta H_{273.15}^T = 5970 + 19.5T$ cal./mole. For Fe₅Si₃: $\Delta H_{273.15}^T = -12650 + 42.13T + 0.01062T^2 + 96910 T^{-1}$ cal./mole; $C_p = 42.13 + 0.02124T - 96910 T^{-2}$ cal./degree mole; $S_T = -197.1 + 0.02124T + 48460 T^{-2} - 42.13 \ln T$ cal./degree mole.

R. D. Misch

C.A. 1964.60.4

355149

FeSi₂

16 Б413. К термохимии силицидов железа. Теплоемкость, энタルпия и энтропия лебоита. Кренцис Р. П. Гельд П. В., Калишевич Г. И. «Изв. высш. учебн. заведений. Чери. металлургия», 1963, № 11, 146—152

СР,
8298,

Калориметрически определена энタルпия и вычислена теплоемкость α - и β -лебонта (фазы $FeSi_2$) состава 55,0 вес. % и 50,15 вес. % Si соответственно в интервалах 53—1725° К и 54—1342° К. При измерениях применялись меры предосторожности, позволившие избежать развития эвтектоидного превращения $\epsilon + \alpha \rightarrow \beta$. Получены величины C_{298} и S_{298} (1-я и 2-я цифры) для α -лебонта (17,55 кал/моль·град, 16,58 энтр. ед.) и для β -лебонта (15,77 кал/моль·град, 13,26 энтр. ед.). Эти значения отличаются от вычисленных по правилу аддитивности. Зависимости энталпии от температуры (с точностью $\pm 2\%$) $H_T - H_{273,2} = 14,56 \cdot T + 2,054 \cdot 10^{-3} \cdot T^2$ 4134 кал/моль, β -лебонт (273—1238° К), $H_T - H_{273,2} = -8,932 \cdot T + 0,7941 \cdot 10^{-2} \cdot T^2 - 1,724 \cdot 10^5 \cdot T^{-1} - 2399$ кал/моль, α -лебонт (273—1480° К). Темплота плавления α -лебонта при $T = 1485^\circ K$ ΔH (пл.) = 25,1 ккал/моль. Энталпия расплава: $H_T - H_{273,2} = 30,08 T + 8746$ кал/моль (1485—1723° К). Полученное значение ΔH (пл.) несколько ниже ранее установленной величины

1963
ВФ-2232-15

Х. 1964. 16

28,3 ккал/моль, что связано с улучшением методики определения энталпии. Л. Резницкий

знач

1963

B90-2232-VI

FeSi₂Cp., a H_T,

S

Thermochemistry of iron silicides. Heat capacity, enthalpy, and entropy of iron silicides. R. P. Krentsis, P. V. Gel'd, and G. I. Kalishevich. *Izv. Vysshikh Uchebn. Zavedenii, Chern. Met.* 6(11), 146-52(1963). The heat capacity and enthalpy are measured for 2 alloys contg. 50.15 and 55.0 wt. % Si. The former corresponds closely to the stoichiometric disilicide FeSi₂, which after subjection to long thermal treatment and homogenization was converted to β -phase (β -lebeante). The latter was converted to the α -phase (α -lebeante) by melting followed by rapid cooling. Both phases were investigated metallographically and with x-ray diffraction. The lattice parameters for the α -phase are $a = 2.690$ and $c = 5.134$ Å. The sp. heat capacities (cal./g./degree) of α - and β -phases at low temps. (53-290°K.) are

C.A.B64.60.5
4879h - 4880a

given. From the heat capacity data are derived the entropies at 298°K., $S_{\beta} = 13.26$ and $S_{\alpha} = 16.58$ e.u. At higher temps. (273-1238°K.) for the β -phase the following equations were derived:
 $\Delta H_{273}^T = -4134 + 14.56T + 2.054 \times 10^{-3}T^2$ cal./mole, $C_p = 14.56 + 4.108 \times 10^{-3}T$ cal./mole/degree, and $S_{\beta} = -70.88 + 4.108 \times 10^{-3}T + 14.56 \ln T$ cal./mole/degree (298-1238°K.). For the α -phase these equations (273-1480°K.) were derived:
 $\Delta H_{273}^T = -2399 + 8.932T + 0.7941 \times 10^{-2}T^2 - 1.724 \times 10^5 T^{-1}$ cal./mole and $C_p = 8.932 + 1.588 \times 10^{-2}T + 1.724 \times 10^5 T^{-2}$ cal./mole/degree. From 1485 to 1723°K. the equation $\Delta H_{273}^T = 30.08T + 8746$ cal./mole is adequate. The molar heat capacity and the enthalpy and entropy referred to 0°K. are given for both the β - and α -phases.

R. J. Ackerman

Fe - Si

13 Б460. О природе ϵ -фазы системы Fe—Si. Сидоренко Ф. А., Гольд П. В. «Изв. высш. учебн. заведений. Чир. металлургия», 1963, № 7, 140—148

1963

На основании данных металлографич., рентгенографич., и пикнометрич. исследований, а также измерения термо-э.д.с. и намагниченности сплавов Fe—Si с 32—35% Si уточнена область гомогенности ϵ -фазы и определена природа твердого р-ра на базе FeSi. Образцы сплавов выплавлены в вакуумной индукционной печи с кристаллизацией в атмосфере очищ. Аг. Исходные материалы — Si чистотой 99,95%, предварительно переплавленный в этой же печи в тигле из SiO_2 , и Fe чистотой 99,96%, рафинированное в H_2 при 700° (5 час.) и дегазированное затем в вакууме при 700°. Слитки сплавов подвергнуты отжигу при 1150° (100 час.) с последующей закалкой на воздухе. При 1150° ϵ -фаза занимает область гомогенности 33,2—34,2% Si (микротвердость $\sim 1200 \text{ кг}/\text{мм}^2$) и в большей части этой области является твердым р-ром вычитания. У сплавов с содержанием Si > 33,4% около 3% узлов подрешетки Fe вакантны, в сплавах, более бедных Si, отсутствующие атомы Si в основном замещены Fe, часть вакансий Si сохраняется.

Л. Шведов

Х. 1964. 13

1964

VI-2329

FeSi(H^T₂₉₈, Cr, S)

Гельд П.В., Кренцис Р.П.,
Сидоренк о Ф.А.

Сб."Физ.-хим. основы металлург.процессов
М., Металлургиздат, 1964, 103-117

Структурные и теплофизические характеристики
твердого и жидкого моносилицида железа.

RM, 1964, 7A16

Be,

F

FeSi_x

The thermochemistry of iron silicides. R. P. Krentsis and P. V. Gel'd. *Fiz.-Khim. Osnovy Proizv. Stali, Akad. Nauk SSSR, Inst. Met. Tr. 6-oi. [Shestoi] Konf., Moscow 1961*, 400-3 (Pub. 1964); cf. CA 58, 8463e. The temp. dependence of the heat capacity C_p and the enthalpy ΔH of Fe_3Si , Fe_5Si_3 , FeSi , and FeSi_2 were measured. The temp. relation of C_p up to 300° was obtained from the graphical calcs. of C_p vs. T for the calorimeter with and without the substance in it. From the graphical integration of the curves, $C_p = f(T)$, the values for $\Delta H_0^{T=0\text{K}}$, $S_0^{T=0\text{K}}$ and the standard entropies of the silicides were obtained at 273-1500°K., the change in heat content was measured by the method of mixing in the adiabatic calorimeter. The measured and additive values for FeSi at 50-300°K. are plotted. The Kopp-Newman Rule is not obeyed for FeSi and FeSi_2 , and C_p is at $\leq 80^\circ$ lower than that of Fe. A comparison of the measured and additive values of $S^0_{298.15}$ for the Fe silicides shows that the rule of additivity is not followed for Fe_5Si_3 and FeSi_2 . For all compds. in this series some anomaly appears in the curves of C_p and ΔH .

M. Sundaresan :

Cp
SHRC.A. 1964. 61. 12
13950 de

Fe₃Si

20 Б255. Изучение структуры и магнитных свойств
~~Fe₃Si. Lecocq, Pierge, Michel André. Etude magnéto-~~
тическая и структуральная Fe₃Si. «С. г. Acad. sci.», 1964,
258, № 6, 1817—1819 (франц.)

1964

Fe₃Si (I) получен спеканием смеси исходных элементов в соответствующих пропорциях, помещенной в закрытую кварцевую трубку и нагретой при т-ре 800° в течение нескольких дней с последующим охлаждением. В системе твердых р-ров α-Fe—Si параметр куб. решетки I a^1 5,646 Å равен 2 a α-Fe. На основании установленной близости системы α-Fe—Si и α-Fe—Ge (РЖХим, 1963, 19Б298) предполагается, что схема связи Si—Ge и Si—Fe аналогична. В структуре I атомы Fe двух сортов: атомы Fe₍₁₎, чередуясь с атомами Si, располагаются в центрах кубов с трансляцией $a^1/2$; атомы Fe₍₂₎ располагаются в вершинах кубов так, что отношение Fe₍₁₎:Fe₍₂₎=1:2. Атомы Si окружены 8 атомами Fe₍₂₎, 4 из которых ковалентно связаны с атомами Si.

2·1964·20

Другая половина атомов $Fe_{(2)}$ и все атомы $Fe_{(1)}$ не имеют ковалентных связей с атомами Si, в результате чего свободные электроны в оболочке 3d приводят к появлению магнитных свойств в I. Таким образом, в I выделяются 2 субрешетки с различными магнитными моментами: $1,10 \mu_B$ в атомах $Fe_{(2)}$ и $2,20 \mu_B$ в $Fe_{(1)}$. Эти теоретич. выводы хорошо согласуются с эксперим. данными $2,15$ и $1,15 \mu_B$ соответственно. Н. Баталнева

1964

 Fe_5Si_3

15 Б237. Изучение магнитных свойств и структуры Fe_5Si_3 . ~~Lecocq Уоппе, Lecocq Pierre, Ми-~~
~~спе~~ André. Etude magnétique et structurale de Fe_5Si_3 . «C. r. Acad. sci.», 1964, 258, № 23, 5655—5656
 (франц.)

Проведено уточнение магнитных свойств в Fe_5Si_3 (I), полученного р-цией в твердом состоянии смеси Fe—Si 34—50 ат.% Si. Смесь порошков элементов гомогенизировалась в закрытой кварцевой трубке при 950° в течение нескольких дней с последующей закалкой в холодной воде. При 34—37% Si единственная устойчивая т-ра Кюри, соответствующая α -раствору, наблюдается при 108° . Интенсивность намагничивания заметно уменьшается при 40—42 ат.% Si. Измеренные и рассчитанные магнитные моменты ($\mu_B/\text{атом Fe}$ при 108°):

x · 1965 · 15

λ 270 (1,267), 1,225 (1,225), 1,165 (1,183), 1,135 (1,140) соответственно при 37, 37, 38 и 40 ат.%. Рентгенографически определены параметры гексагон. решетки (37—40% Si): a 6,741, c 4,712 Å. В I так же, как и в Mn_5Ge_3 (РЖХим, 1965, 7Б158), отмечено существование 2 типов металлич. атомов. Атомы $Fe_{(1)}$ образуют прямолинейные цепочки, не связанные друг с другом. Внутри цепочки расстояния $Fe_{(1)}-Fe_{(1)}$ 2,35 Å соответствуют металлич. связям. Атомы Fe_4 удалены от атомов Si и не образуют друг с другом никаких связей. Атомы $Fe_{(2)}$ и Si образуют прерывистые цепочки с одинаковым кол-вом атомов $Fe_{(2)}$ и Si, связанные ковалентной связью, причем каждый атом $Fe_{(2)}$ образует 4 ковалентные связи с Si. Атомы $Fe_{(1)}$ имеют магнитный момент $\mu_1=2,20$ и находятся в электронном состоянии, аналогичном α -Fe; атомы $Fe_{(2)}$ имеют 2 свободных электрона (как в Ni) и обладают магнитным моментом $\mu_2=0,606$; выведен μ (ср.) для Fe при различном содержании Si. Сравнение рассчитанных и измеренных моментов показывает хорошее согласие, подтверждающее гипотезу о хим. связях в I.

Н. Баталиева

1964

VI-6598

Fe Si

6 E200. Расширение области γ -фазы в системе железо — кремний при высоком давлении. Schatz Martin, Kaufman Larry. Extension of the gamma loop in the iron-silicon system by high pressure. «Trans. Metallurg. Soc. AIME», 1964, 230, № 7, 1564—1566 (англ.)

Методами микроскопич. анализа и измерения микротвердости изучено влияние давления на границы области γ -фазы в сплавах Fe—Si, содержащих 7, 5, 11 и 13,9 ат.% Si. При давлении 1 атм и т-ре $> 1100^\circ$ граница области γ -фазы проходит при 4 ат.% Si. При давл. 42 кбар и 1200° область γ -фазы расширяется до ~ 10 ат.% Si. Полученные эксперим. результаты удовлетворительно совпадают с результатами термодинамич. расчетов.

З. Рогачевская

Ф. 1965. 68

1964

Fe₃Si

18 Б450. Об устойчивости сверхструктуры Fe₃Si при повышенных температурах. Сюткин П. Н., Сидоренко Ф. А., Гельд П. В. «Физ. металлов и металловедение», 1964, 18, № 6, 940—941

С помощью рентгенографич. метода исследован процесс разупорядочения сплавов Fe—Si (близких по составу к стехиометрич. соединению Fe₃Si) в зависимости от т-ры. Установлено, что в сбразцах, содержащих 14,5% Si, степень ближнего порядка мало меняется с ростом т-ры вплоть до 1200°. В сплаве, содержащем 10% Si, полное разупорядочение имеет место вблизи 900°.

По реферату авторов

Х. 1965. 18

Термокама.
Синаби

Folio

1964

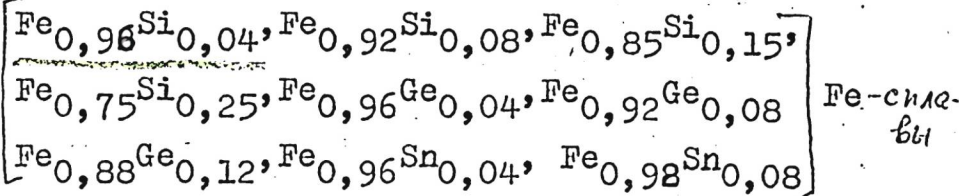
Fe-Si

Вегер Р.А, Тейгерих В.А,
Терасинов З.И.
магазэт-юнак, симпозиум
по пермодинастике, Берг 22-23
июня 1965 г.

Применение механических
свойств стекловолокна
в прессинге.

2022-VI

1964



Gupta K.P., Cheng C.H., Beck P.A.
J.Phys. and chem., Solids, 1964, 25, N 10, 1147-
49

Low temperature specific heat of B.C.C. solid
solution alloys of Fe with Si, Ge and Sn.

PJX, 1965, 18б387

Be. Есть оригинал.

1965

Fe Si x

5 Е336. О некоторых особенностях α' -фазы системы Fe — Si. Андреева Л. П., Гельд П. В. «Физ. металлов и металловедение». 1965, 19, № 1, 70—77

Проведено исследование тепловых, упругих и электрич. свойств твердых растворов Si в α -Fe. Для объяснения полученных данных предложена и обсуждена гипотеза об усилении с ростом т-ры гетеродесмичности связей в упорядоченной α' -фазе.

Ф · 1965 · 5 · 2

CrSi, MnSi, FeSi, CoSi(Cp)

VI 4945 1965

Акгреева Н. А., Сигоренко Р. А.;
20269 Т. В.

9^o us. мейзанов и монатовер.,
1965, 19(5), 784-6.

Взаимодействие атомов в межатомных связях
перво 3d - переходных металлов
при низких температурах.

Be,

F.

CA, 1965, 63, N11, 14059a

VI 2241

1965

FeSi, CoSi, MnSi (Δp , ΔS , ΔH_m , ΔH°_T)

Лепух С.М., Талыб П.В., Серебренников
Н.Н.

Чуб. высш. учеб. заведений, Чертежи
металургии, 1965, №4, 5-12.

Ржев, 1965, 22Б426

Б

Есть оригинал

ВР-2352-IV

1965

Fe₃Si

19 Б444. Определение температуры упорядочения сплава Fe₃Si. Радченко М. Е. «Ж. неорган. химии», 1965, 10, № 2, 561—562

С помощью рентгенографич. метода анализа исследован процесс упорядочения сплава Fe₃Si в интервале т-р 450—1150°. Образцы сплавов получены сплавлением Fe чистотой 99,8% и полупроводникового Si в индукционной печи (атмосфера Ar, давл. 10⁻¹ мм рт. ст.) и гомогенизированы в вакууме при 1000° (10 суток). Процесс упорядочения начинается при т-рах >500° и полностью завершается при 800°.

Л. Шведов

2. 1965. 19

1985

Fe Si

3 Б593. Концентрационная область устойчивости моносилицида железа. Сидоренко Ф. А., Рабинович Б. С. «Гр. Уральского политехн. ин-та», 1965, сб. 144, 71—73

Изучена т-рная зависимость р-римости Fe и Si в моносилициде Fe с помощью определения зависимости периодов решетки ϵ -фазы, находящейся в равновесии с высшим или низшими силицидами Fe, от содержания Si после закалки с различных т-р; определение проведено рентгенографич. и металлографич. методами. Образцы сплавов получены плавкой монокристаллич. Si и Fe чистотой 99,95% в индукционной печи (материал тигля — алунд; атмосфера — Ag). Область устойчивости ϵ -фазы (33,3 34,2% Si, при 1150°) на диаграмме состояния системы Fe—Si очень незначительно расширяется при повышении т-ры от 800 до ~1220°. З. Рогачевская

x · 1986 · 3

Fe Si

1965

24 Б246. О магнитной восприимчивости и валентном состоянии атомов в моносилициде железа. Шубина Т. С., Сидоренко Ф. А., Гельд П. В. «Физ. металлов и металловедение», 1965, 19, № 4, 544—549

Изучена зависимость магнитной восприимчивости моносилицида железа от его состава и т-ры (от —190 до 900°). Установлено, что кривые $\chi(T)$ имеют максимум вблизи 180°. Выше 600° кривые $\chi(T)$ следуют закону Кюри — Вейсса. Эффективный магнитный момент с составом ϵ -фазы меняется от 2,24 до 2,95 μ_B . По полученным результатам строятся валентные схемы для атомов железа в его моносилициде.

Резюме авторов

Х. 1965.

Fe-Si

1965

23 Б486. Активность железа в твердых растворах кремния в железе. Вечер Р. А., Герасимов Я. И., Гейдерих В. А. «Ж. физ. химии», 1965, № 5, 1229—1232

Методом э. д. с. изучались активности Fe в твердых сплавах Fe—Si в интервале 94,5—75,5 ат.% Fe при 600—800°. Найдены отрицательные отклонения от закона Рауля. Эксперим. данные согласуются с предположением о существовании гетерог. области $\alpha + \alpha'$. Эксперим. данные пересчитаны к т-рам солидуса и сравнены с литературными данными по активностям Fe в жидких сплавах Fe—Si.

Реферат авторов

21.1965. 23

Fe-Si

5 Б699. Термодинамические свойства сплавов железа с кремнием. Вечер Р. А., Гейдерих В. А., Герасимов Я. И. «Докл. АН СССР», 1965, 164, № 4, 835—838

ДН

Термодинамические функции образования сплавов Fe—Si в интервале составов — 0—94,5 ат.% Fe определены из измерений э. д. с. элемента: $\text{Fe}(\text{тв.}) \mid \text{Fe}^{2+} + \text{KJ} + \text{NaJ}$ (расплав) || $\text{Fe}-\text{Si}$ (тв.) при т-рах 600—800°. С использованием литературных данных по т-рным зависимостям теплоемкости силицидов железа и чистых Fe и Si рассчитаны ΔH_{298} , ккал/моль (первое число), и ΔS_{298} , энтр. ед. (второе число), образования из элементов FeSi_2 ($-19,4 \pm 1,8$; $-3,3 \pm 1,8$), FeSi ($-17,6 \pm 0,9$; $-2,6 \pm 1,1$) и Fe_3Si ($-22,4 \pm 1,0$; $-1,2 \pm 1,1$). ΔH (обр.; $\text{FeSi}_{2,33}$) рассчитана из равновесия $\text{FeSi}_{2,33} \rightleftharpoons \text{FeSi}_2 + 0,33 \text{ Si}$ при 1188° К с использованием экспер. и литературных данных ($-15,7$ ккал/моль). Реферат авторов

РЖХ,1966,

FeSi_x

ВФ-3991-У

1965

FeSi₂

FeSi

Fe₃Si

DHF

У22 Б542. Термодинамические свойства сплавов железа с кремнием. Вечер Р. А., Гейдерих В. А., Герасимов Я. И. «Изв. АН СССР. Неорг. материалы», 1965, I, № 10, 1722—1731

В интервале 600—800° измерены э. д. с. элементов Fe|Fe²⁺ в расплаве KJ+NaJ|Fe—Si сплав. Для сплавов составов 0—94,5 ат.% Fe приведены значения хим. потенциала Fe в зависимости от т-ры. Из экспер. данных для силицидов FeSi₂ (1-е число), FeSi (2-е число) и Fe₃Si (3-е число) рассчитаны значения термодинамич. функций образования из компонентов при 1000° К ΔG , ккал/моль ($-15,20 \pm 0,28$; $-14,7 \pm 0,15$; $-21,6 \pm 0,5$):

X. 1966. 22

ΔH , ккал/моль ($-21,3 \pm 1,8$; $-18,4 \pm 0,9$; $-24,4 \pm 0,6$)
и ΔS , энтр. ед. ($-6,1 \pm 1,8$; $-3,7 \pm 1,0$; $-2,8 \pm 1,0$). С
использованием литературных данных по C_p рассчита-
ны соотв. значения ΔH_{298} ($-19,4$; $-17,6$; $-22,4$) и
 ΔS_{298} ($-3,3$; $-2,6$; $-1,2$). Оценено значение ΔH_{298} для
 $FeSi_{2,33}$ ($-14,4$). Рассчитаны ΔH смешения жидк. спла-
лов Fe—Si. Результаты сравнены с литературными дан-
ными и сопоставлены с природой связи в силицидах Fe,
Co и Ni.

В. Гейдерих

Fe_{x+1}Si_y

621 | 1965

P. A. Berep, B. A. Feigrikh,
A. N. Gerasimov

T. g. cba.

"Унив. им. М.В. Ломоносова"

Москва, Хим. ф-т.

"Доклад на симпозиум по
термодин. атомн. матер. в Вене."

1966

A-715

Mg₂Pb, Mg₃Bi₂, Mg₂Sn,
MgZn₂, MgTl, NaSn, Na₅Ga₈, Hg₂Na,
NaPb, Na₂Sn, KHg₂, KBi₂, FeSi, Cd₂Na, InSb,
CdSb (Δ Hm)

Ansara I., Durand F., Desre P,
Bonnier E.

Bull. Soc. chim. France, 1966, N4, 1395-99.

RX., 1967, 3/536

Be

Est/F

VI 6600

1966

Fe_3Al , Fe_3Si , FeAl , AlMg (Ttr)

Clendenen R.L., Dickamer H.G.,
J. Chem. Phys., 1966, 44, N 12, 4385-86

Effect of high pressure on the compressibilities of five alloys

PPCQ.12 E986

T

FeSi

BP- VI- 4180

1966

▷ 17 Б594. Измерение теплоемкости сплава FeSi в интервале температур от 850 до 1580°. Ferrier Albert, Jacobi Hatto. Mesure de la capacité calorifique de l'alliage FeSi entre 850 et 1580° C. «C. r. Acad. sci.», 1966, C263, № 22, 1325—1328 (франц.)

Методом смешения измерена энталпия FeSi в твердом и жидким состоянии. Т. пл. FeSi+1406°.
 $H_t - H_{25}$ (тв.) = $-1825 + 15,47 t$ кал/моль при $850 < t < 1406^\circ$.
 $H_t - H_{25}$ (жидк.) = $+2067 + 24,09 t$ при $1406 < t < 1580^\circ$.
Теплота плавления определена равной $16 \pm 0,35$ ккал/моль.
Теплота образования FeSi (ккал/моль) рассчитана равной: при $t < 1406^\circ$ — 20,4, при 1406° — 4,5, при 1535° (т. пл. Fe) — 18,9.

B. A. Холлер

cp
Tm
 $H_t - H_{25}$,
 ΔH_m
 ΔH_f

д. 1967 . 17

FeSi

B9-VI-4480

1966

Cp

89107y Heat capacity of FeSi alloy between 850 and 1580°.
Albert Ferrier and Hatto Jacobi (Inst. Rec. Siderurgie, IRSID,
Saint Germain-en-Laye, France). *C. R. Acad. Sci., Paris, Ser.*
C 263(22), 1325-8(1966)(Fr). The definite compd. FeSi
melted at 1406° and underwent no known transformation be-
tween the m.p. and 25°. An alloy sample (5.0 g.) was synthe-
sized under Ar at 20 mm. in an Al crucible (4.4 g.) contained in a
Mo receiver (8.3 g.). Temps. were measured against Au, Pt,
and Pd standards with a disappearance pyrometer. The prod-
uct contained ~1% excess Fe (98.3% FeSi and the rest Fe-
Si₃). The enthalpy of the FeSi was measured with a drop
calorimeter. $H_\theta - H_{25}$ (cal./mole) had the values: in the solid
state, $-1825 + 15.47 \theta$ ($850 < \theta < 1406^\circ$); and in the liquid
state, $+2067 + 24.09 \theta$ ($1406 < \theta < 1580^\circ$). The heat of fu-
sion (16 ± 0.35 kcal./mole) differed little from the sum of the
fusion heats of the constituents. The formation heat of the
liquid FeSi, calcd. at 1406°, was -4.5 kcal.

GRJF

C.A. 1967 66 20

FeSi_x
сплавы

1967

6 Б735. Теплоемкости сплавов железо — кремний.
Pepperhoff W., Ettwig H.-H. Über die spezifischen
Wärmen von Eisen—Silizium—Legierungen.
«Z. angew. Phys.», 1967, 22, № 6, 496—499 (нем.; рез.
англ.)

В адиабатич. калориметре, в атмосфере чистого Ar, измерена теплоемкость сплавов Fe—Si с содержанием Si от 0 до 15,12 ат.% при т-рах 300—850°. У сплавов с содержанием Si 9,6—14 ат.% наблюдается избыточная по сравнению с чистым Fe теплоемкость, уменьшающаяся с ростом содержания Si. Она может быть связана с анизотропией диффузии, вызванной тем, что в этих сплавах наряду с анизотропным ближним порядком существует неоднородный дальний порядок, соответствующий FeSi и Fe₃Si, к-рый при 14 ат.% переходит в дальний порядок, соответствующий Fe₃Si. А. Кикони

Ср
сплавы

X. 1988 . 6

1967

Fe Si

Fe₃ Si

Cр

12 E942. О теплоемкости сплавов железо — кремний.
Pepperhoff W., Ettwig H.-H. Über die spezifischen Wärmen von Eisen-Silizium-Legierungen. «Z. angew. Phys.», 1967, 22, № 6, 496—499 (нем.; рез. англ.)

В адиабатич. калориметре в атмосфере чистого Ag измерена теплоемкость сплавов Fe—Si с содержанием Si от 0 до 15,12 ат. % при т-рах 300—850° С. У сплавов с содержанием Si 9,6—14 ат. % наблюдается избыточная по сравнению с чистым Fe теплоемкость, уменьшающаяся с ростом содержания Si. Она может быть связана с диффузией анизотропией, вызванной тем, что в этих сплавах паряду с анизотропным ближним порядком существует неоднородный дальний порядок, соответствующий FeSi и Fe₃Si, который при 14 ат. % переходит в дальний порядок, соответствующий Fe₃Si. А. К. Кикони

9.1967.12

1967
 Fe_2Si

20 Б440. Особенности химической связи в упорядоченном сплаве Fe_2Si . Радченко М. Е., Цветков В. П., Горохов К. И. «Ж. физ. химии», 1967, 41, № 4, 877—879

Показано, что эксперим. значения структурных амплитуд упорядоченного сплава Fe_3Si (I) лежат на 3 гладких кривых. Такое поведение опытных значений можно объяснить тем, что атомы Fe, находящиеся в разных структурных положениях, имеют разные атомные факторы. В этом предположении сделан расчет структурного фактора для сверхструктуры I, к-рый показал хорошее согласие с экспериментом. Показано, что наличие 3 типов структурных амплитуд связано не со степенью ближнего порядка в сплаве, а с тем, что при малых углах атомный

x · 1967 · 20

фактор Fe для атомов сорта D , окружающих непосредственно атомы Si, больше атомного фактора атомов Fe сорта A , находящихся в окружении одноименных атомов. Наличие этого неравенства связывается с тем, что атомы Fe сорта D имеют избыточный отрицательный заряд по сравнению с атомами Fe сорта A . Сделан вывод, что в решетке I имеются места для двух типов связи: металлическая и ионная. Последняя осуществляется между двукратно-ионизированными атомами Si и окружающими их атомами Fe с избыточным отрицательным зарядом.

Автореферат

1967

VI 4698

Si, Al, Cu b new. Fe (stH secumb.)

Woolley F., Elliott J. F.;

Trans. Met. Soc. ATME, 1967, 939, N12,
1872-1883

CA, 1968, 68, N12, 99332y



B

Fe₃(Al, Si)

VII 5586

1968

Арутюнян С.,

Сіром-смк Арменія, 1968, N 3-4, 78-

Серхсітруктура өсмелілік

Fe₃(Al, Si)

РХ 1969, 15488

Мл.

(Cp)

VI-4793

1968

FeSi

22 Б831. Измерение теплоты образования соединения FeSi методом калориметрии растворения в алюминии.
~~Jourel Brigitte, Mathieu Jean-Claude, Desré Pierre.~~ Mesure de la chaleur de formation du composé FeSi par calorimétrie de dissolution dans l'aluminium. «C. r. Acad. sci.», 1968, C 266, № 11, 773—776
(франц.)

Измерены теплоты р-рения при 971° К в алюминии Fe, Si и FeSi в зависимости от конц-ни р-ряемого в-ва. Чис-тота используемых реактивов: Al 99,99%, FeSi 98,3% (примесь Fe_5Si_3); примесь кислорода в Fe и Si ничтожна и не вносит ошибки в результаты измерений. Из полу-ченных эксперим. данных вычислена энталпия образо-вания FeSi, равная $-18,8 \pm 0,9$ ккал/моль при 293° К. Эта величина хорошо согласуется с литературными данными.

Т. Ровная

X · 1968 · 22

11-11793

1968

Fe-Si

SHL

5768r Calorimetric measurement of the heat of formation of iron silicide by dissolution in aluminum. Jounel, Bruno; Matheiu, Jean Claude; Desre, Pierre (Lab. Thermodyn. Physico-chim. Met., E.N.S.E.E.G., Grenoble, Fr.). *C. R. Acad. Sci., Paris, Ser. C* 1968, 266(11), 773-6 (Fr). Calorimetric detns. of the heat of dissoln of Fe, Si, FeSi in Al, gave the heat of formation of FeSi. A graphite cylinder was used as measuring cell, in which a recrystd. Al_2O_3 crucible was inserted to avoid the carburization of the metals. As solvent, pure Al (99.99%) in an amt. of 2-3 g.-atom was used. Pure electrolytical Fe (0.003% O), Si ($<3 \times 10^{-6}$ O), and FeSi (98.3% FeSi and Fe_5Si_3) were considered. The mechanism is postulated for the dissoln. of Fe, Si, and FeSi in Al. The value obtained for the heat of formation of FeSi at 293°K., (-18.8 ± 0.9 kcal./mole) agreed fairly with the data obtained by the electrochem. method (Geras-sinov: -17.6 ± 0.9 kcal./mole) and a special calorimetric method (Koerber) -19.2 ± 2 kcal./mole). M. Frenkel

C. A. 1968. 69.2

CuSi, MnSi, FeSi, CoSi, NiSi (C_p, D_{5m}, A_H) 1968

Yannweber J.A., Teats H.B., Pyunichib M.B.,
Tp. Уфа, Уфимск. физтех. ин-т 1968, № 108, 152-4.

Монокристаллы, отжиганные в электропечи
Металлических хрома и никеля.

VI 6264

5737

5 (p) 4

(A, 1968, № 512, 513324)

1968

Fe-Si
сплав

Ср

11 Е356. Упорядочение в сплавах Fe—Si. Pepperhoff Werner, Ettwig Hans-Heinrich. Ordnungszustände in Eisen-Silizium-Legierungen. «Arch. Eisenhüttenwes.», 1968, 39, № 4, 307—309 (нем.; рез. англ., франц.)

Нейтронографическим методом, путем измерения теплоемкости и магн. свойств изучены процессы упорядочения (ближнего и дальнего) в сплавах Fe—Si (9—14 ат. % Si).

оп. 1968 · 118

Fe - Si (pacnecab)

1988

132331n Calculation of short-range order during a determination of the thermodynamic characteristics of metal-silicon molten alloys. Petrushevskii, M. S.; Gel'd, P. V. (USSR). *Fiz.-Khim. Osn. Proizvod. Stali, Mater. Simp. Met. Metalloved.* 1968 (Pub. 1971), 350-5 (Russ). Edited by Samarin, A. M. "Nauka": Moscow, USSR. Equations for calcns. of the thermodynamic characteristics of melts were derived and their application illustrated with the Fe-Si system. Heats of mixing and component activities of the Fe-Si melts (at 1873°K) are presented. The dependence of the energy of the particle interaction on the compn. of solns. is analyzed. A. G. Streng

ΔH_{mix}

C. A. 1982 Pb. 22

VI 6841

1968

Fesi (kp. cr.)

Сигоретко Ф.А., Дмитриев Е.А.,
Анасова Е.А.

Тр. Уральск. наукахе ии-72

1968, №. 167, 194-127



Ми

лес гк

1968

FeSi₂

Сидоренко Ф. А., Мирзаки-
ков Р. А., Чуба Г. В.

Торонк. минералургия,
№ 4, 53

Образование гомогенных
и супергомогенных особен-
ностей поверхности рас-
творов никелевых суль-
фидов Ni и Fe. (см. NiSi₂)

1968

Fe Si₂

12 Б466. Получение и исследование силицида β -FeSi₂ в монокристаллическом состоянии. W a l d j i Roland, D u s a u s o y Yves, P r o t a s Jean, R o - q u e s B é g n a r d. Préparation et étude du siliciure FeSi₂ β à l'état monocristallin. «С. г. Acad. sci.», 1968, C267, № 23, 1587—1590 (франц.)

Получен и рентгенографически изучен монокрист. низкотрный силицид β -FeSi₂ (I), обладающий полупроводниковыми св-вами. I получен транспортной р-цией сплава FeSi₂ с йодом в запаянных кварцевых трубках, предварительно обезгаженных. J сублимирован из смеси AgJ — 4V₂O₅. Установлено, что на результаты р-ции сильно влияют изменения т-рного градиента в трубках,

Структура

Х. 1969. 12

а также давления J. Показано, что I разлагается при 967 ± 3 и эвтектоидное превращение происходит при 947 ± 3 . С помощью рентгенографич. исследования моно-кристаллов и порошка I (λ Mo- K_{α}), I (λ Cu- K_{α}) установлено, что I кристаллизуется в ромбич. сингонии: a 9,86, b 7,79 и c 7,83 Å; ф. гр. *Стса*. Определение структуры I продолжается.

Р. Баранова

FeSi_{2,33}

Creat Fe + Si
T.G. Chart.

1969

639

"National Phys.

Laboratory.

Division of Chem. Standards"

(ΔH_f; ΔS_f)

Report 3, 1969,

Fe-Si

(cuciaed)

repeecof.

cb. la

FeSi_{2.33}

Summer 1968

1969

(74884d) A critical assessment of the thermodynamic properties of the system iron-silicon. Chart, T. G. (Nat. Phys. Lab., Teddington, Engl.). *Nat. Phys. Lab., Rep.* 1969, NPL-DCS-3, 18 pp. (Eng). Avail. CFSTI. From *Sci. Tech. Aerosp. Rep.* 1969, 7(15), 2677. A review of the thermodynamic properties of the Fe-Si system is presented. Values of the heats of formation of liq. alloys are 1st assessed and partial heats of soln. are used to convert recorded partial free energies of formation at various temps. to a common temp. The partial heats are thus combined with selected free energies to yield partial entropies of soln. Heats of formation of the liq. and corresponding solid alloys are compared. (The entropy values for solid alloys are largely based on values obtained for liq. alloys.) TCSL

C.A. 1969.

71. 16

1969

(Fe) Si

7 Б871. О термодинамике металлических систем. Кулаков И. С. В сб. «Теор. и эксперим. методы исслед. диаграмм состояния металлич. систем». М., «Наука», 1969, 69—72

Предложены методы определения характера диссоциации и расчета активности компонентов в хим. соединениях, обладающих различным характером диссоциации. На примере системы железо—кремний показано применение рассмотренного метода расчета активностей железа и кремния. Приведены результаты расчетов активностей Fe и Si в системе Fe—Si при 1000° К.

Резюме

Система
активность

Х. 1970. 7

FeSi

VI-4476

1969

36570m) Calculation of the $C_p - C_v$ difference for some silicides of 3d transition metals. Kalishevich, G. I.; Matveev, G. A.; Andreeva, L. P.; Rodionov, K. P.; Gel'd, P. V. (Ural. Politekh. Inst. im. Kirova, Sverdlovsk, USSR). *Zh. Fiz. Khim.* 1969, 43(10), 2604-7 (Russ). Differences of molar heat capacities ($C_p - C_v$) for FeSi, CrSi, MnSi, CoSi, VSi₂, and CoSi₂ at 298°K were calcd. according to the thermodynamic equation $C_p - C_v = VT\beta^2/x$, where V , T , β , x are molar vol., abs. temp., and coeffs. of thermal expansion and compressibility, resp. The results obtained were compared to the data calcd. with the aid of the Nernst-Lindeman equation. Values based on the Ni-Li equation exceeded those obtained with the thermodynamics equation by a factor of 1.5-2. M. Dokladal

$C_p - C_v$
298

C.A. 1970

72.8

+4



FeSi

VI-4176

1989

71417p Calculation of the $C_p - C_v$ difference for some silicides of 3d-transition metals, Kalishevich, G. I.; Matveev, G. A.; Andreeva, L. P.; Rodionov, K. P.; Gel'd, P. V. (Ural. Politekhn. Inst. im. Kirova, Sverdlovsk, USSR). *Zh. Fiz. Khim.* 1969, 43(10), 2604-7 (Russ). Differences of molar heat capacities ($C_p - C_v$) for FeSi, CrSi, MnSi, CoSi, VSi₂, and CoSi₂ at 298°K were calcd. according to the thermodynamic equation $C_p - C_v = VT\beta^2/x$, where V , T , β , x are molar vol., abs. temp., and coeffs. of thermal expansion and compressibility, resp. The results obtained were compared to the data calcd. with the aid of the Nernst-Lindeman equation. Values based on the N.-L. equation exceeded those obtained with the thermodynamics equation by a factor of 1.5-2.

M. Dokladal

$C_p - C_v$

C.A. 1970

72.14



+5



FeSi

B9-6934-VI
Omnibus 3113

1969

A. Vander Auwera Mahieu,
et al.

(ΔH°)

Chem. Phys. Lett

1969, 4 NH, 198-200



FeSi₂

Киселев
Стр-ра

9 Б566. Определение структуры силицида железа β -FeSi₂. Wandji Roland, Dusausoy Yves, Procas Jean, Roques Bernard. Determination de la structure de FeSi₂ β . «C. r. Acad. sci.», 1969, C269, № 16, 907—909 (франц.)

Рентгенографич. (метод Вейсенберга, λ Ма-К_a, 434 отражения) исследованы ромбич. кристаллы β -FeSi₂. Параметры решетки: a 9,863; b 7,791; c 7833А; ρ (эксп.) 4,93; ρ (выч.) 4,94; $Z=16$, ф. гр. *Cmca*. Структура расшифрована по проекциям Паттерсона и электронной плотности и уточнена МНК в изотропном приближении; $R=0,109$. Атомы Si образуют искаженную простую кубич. структуру. Атомы Fe упорядоченно занимают половину кубов. Координация атома Fe восьмерная, координац. полиэдр-искаженный куб. Fe₍₁₎—Si 2,34—2,38 А и Fe₍₂₎—Si 2,34—2,44 А; Si—Si 2,45—3,58А. Каждый атом Si связан с 2 атомами Fe₍₁₎ и 2 атомами Fe₍₂₎. Координац. полиэдр-тетраэдр.

А. Н. Князева

X. 1970. 9

1969

27.4.9

11

FeSi

XVI-157 J

1970

T_m, G_p,
H_T-H,
S

Chart T. G.,

High Temp. - High
Pressure us, 1970,
I, NY, 401-70.

1970

FeSi_x

нержаве.

cb - 60

21 Б618. Термодинамические свойства жидкого сплава Fe—Si. Fruenh R. J. The thermodynamic properties of liquid Fe—Si alloys. «Met. Trans.», 1970, 1, № 4, 865—870 (англ.)

Термодинамические св-ва жидк. сплавов Fe—Si исследованы электрохим. методом при помощи гальванич. ячеек Cr—Cr₂O₃ (тв.) | ZrO₂(CaO) | Fe—Si (жидк.) — SiO₂ (тв.) (1), Cr—Cr₂O₃ (тв.) | ThO₂(Y₂O₃) | Fe—Si (жидк.) — SiO₂ (тв) (2). Ячейка (2) применялась при содержании Si в сплаве >9 ат.%, т. к. электролит ZrO₂(CaO) обладает значительной электронной проводимостью при $t=1600^{\circ}$ и содержании Si > 10 ат.%. Измерены э. д. с. ячейки с чистым Si, равные —336,5 и $-330,5 \pm 1,5$ мв при 1500° и 1600° , что дает свободную энергию образования SiO₂, тв —139,0 и —134,3 ккал/моль, соотв. Обнаружено, что зависимость

X. 1970. 21

$\lg \gamma_2 = \alpha_{12}(1 - N_2)^2 + I$ выполняется в пределах $(1 - N_2)^2$ от 1,00 до 0,40; здесь N_2 — атомная доля 2-го компонента (Si); значения $\alpha_{12} = \alpha_{Fe-Si}$ (определенны ранее) равны $-2,12$ (1600°) и $-2,50$ (1500°); I — константа. Обработкой эксперим. результатов получены ур-ния: $\lg \gamma_{Fe} = -2,12 N_{Si}^2$ и $\lg \gamma_{Si} = -2,12 N_{Fe}^2 - 0,22$ (1600°), а также $\lg \gamma_{Fe} = -2,50 N_{Si}^2$ и $\lg \gamma_{Si} = -2,50 N_{Fe}^2 - 0,13$ (1500°). Измерены парц. мол. теплоты р-рения L_{Si} и L_{Fe} ; зависимости $L_i - N_2$ выражаются тоже квадратными ур-ниями. Обнаружено, что система Fe — Si наиболее устойчива при эквимол. соотношении компонентов. Величины теплот р-рения согласуются с калориметрич. измерениями. П. М. Чукуров

Fe Si

Корицубов Б.А.,
Геог Н.В.

1970

Cp

Узб. АН СССР. Институт

металлургии; 1970, 6,

NII, 1964.



(аэ. Cr Si) I

FeSi

1970.

Vozdvizhenskii V.M.

T_m

Zh. Fiz. Khim. 1970, 44, 317-19.

(ав. Cu_3Si) I

● Син. межатомной
стяжкой перехода
вентилюю.

FeS

1971

90924a Thermodynamic study of the formation of iron(II) sulfide nuclei in molecular hydrogen-hydrogen sulfide mixtures.

Blaise, Bernard; Genty, Annick (Lab. Chim. Solids, Fac. Sci., Orleans, Fr.). *C. R. Acad. Sci., Ser. C* 1971, 273(18), 1125-8 (Fr). At 650-770°C and partial pressure ratios $p(\text{H}_2\text{S})/p(\text{H}_2) = \alpha = (6-15) \times 10^{-4}$, the reversible epitaxial growth of FeS nuclei was obsd. on the surface of annealed, high-purity, polycryst. Fe. The std. enthalpy change, $\Delta H^\circ = 14,210 \pm 150$ cal/mole, for the reaction $\text{FeS}(\text{nuclei}) + \text{H}_2(\text{g}) \leftrightarrow \text{Fe}(\text{s}) + \text{H}_2\text{S}(\text{g})$ was obtained from the linear increase of $\log \alpha$ with decreasing $1/T$ (T = abs. temp.). For $\text{Fe}(\text{s}) + \text{H}_2\text{S}(\text{g}) \leftrightarrow \text{FeS}(\text{nuclei}) + \text{H}_2(\text{g})$, the std. free energy change is ΔG° (cal/mole) = $-14,210 + 0.61T$, where the std. entropy change is $\Delta S^\circ = 0.61$ cal/mole degree.

K_P

ΔG

ΔS°

C.A. 1972

76.16

Fe Si

1971

19 Б760. Критическая оценка термодинамических свойств в системе железо—кремний. Chart T. G. A critical assessment of the thermodynamic properties of the system iron—silicon. «High Temp.-High Pressures», 1970, № 4, 461—470 (англ.)

Рассмотрены и сопоставлены опубликованные данные по термодинамич. характеристикам системы Fe—Si с учетом эксперим. методик, чистоты использованных материалов (особенно по отношению к N и O), полноты р-ции, возможности р-ции расплавов с тиглем и т. д. Табулированы интегральные и парц. энталпии и энтропии.

Сб.
8
Гм

X. 1971. 19

пии жидк. сплавов системы Fe—Si при 1873° К для всей области составов с шагом $N_{Si}=0,05$. Для ϵ -фазы FeSi табулированы теплоемкость, теплосодержание и энтропия в области т-р 298—1900° К с шагом 100° с переходом через т. пл. 1683° К. C_p , H_t и S_t табулированы также для тв. сплавов с $N_{Si}=0,25$ и 0,667 в области 298—1200 К. Предложенные данные внутренне согласованы и согласуются с фазовой диаграммой. А. Гузей

FeSi

1971

Report

cb-ba

11121q Critical assessment of the thermodynamic properties of the system iron-silicon. Chart, T. G. (Div. Chem. Stand., Natl. Phys. Lab., Teddington/Middlesex, Engl.). *High Temp.-High Pressures* 1970, 2(4), 461-70 (Eng). Published thermodynamic data for Fe-Si alloys have been collected and crit. assessed. A set of data, which are self-consistent and consistent with the phase diagram, is proposed.

C.d. 1971.452.

1971

FeSi₂

1 Б399. Кристаллическая структура дисилицида железа, β -FeSi₂. Dusausoy Y., Protas J., Wandji R., Roques B. Structure cristalline du disilicide de Fer, FeSi₂B. «Acta crystallogr.», 1971, B27, № 6, 1209—1218 (франц.; рез. англ.)

Проведено рентгенографич. исследование (методы порошка, λ Cu, прецессии и Вейсенберга, λ Mo, 569 отражений, МНК, изотропное приближение, $R=0,043$) кристаллов низкот-рной полиморфной модификации β -FeSi₂ (I), полученных методом транспортной р-ции. Параметры ромбич. решетки: $a = 9,863$, $b = 7,791$, $c = 7,833 \text{ \AA}$, β (изм.) 4,93, β (выч.) 4,94, $Z=16$, ф. гр. Стса. Каждый атом Fe в структуре находится в центре искаженного куба, вершины к-рого заняты атомами Si (межатомные расстояния Fe—Si 2,335—2,437 \AA). Степень координац. искаже-

клесі.
СІР-Ра

X. 1972/1

ния многогранника различна для двух кристаллохимических независимых атомов Fe, что подтверждается также изучением эффекта Мессбауэра. Межатомные расстояния Fe—Fe (2,967—4,044 Å) позволяют предположить наличие в структуре связей типа металл — металл. Координац. окружение атомов Si — искаженный тетраэдр из атомов Fe. В целом структура может быть рассмотрена как искаженная структура типа флюорита CaF_2 . Проведено сравнение структуры I со структурами дигерманидов, дисилицидов, а также со структурами ряда дистаннидов (CoSi_2 , Ir_3Sn_7 , FeGe_2 и др.). Основные различия в этих структурах касаются подрешетки атомов металла и характера взаимодействия металл — металл. Приведены значения d , I и индексы hkl рентгенограммы порошка I.

С. В. Рыкова

B97-XVI-742 1972

Fe Si₂

40095f Transformation mechanisms of the $\alpha \leftrightarrow \beta$ transition in iron disilicide. Le Corre, C.; Genin, J. M. (Lab. Metall., CNRS, Nancy, Fr.). *Phys. Status Solidi B* 1972, 51(1), K85-K88 (Eng). The $\alpha \rightarrow \beta$ transition in FeSi₂ is explained on the assumption of a deformation by twinning of the α -phase into an "idealized β -phase" accompanied by a readjustment of the cell size, and a reshuffling of the atoms of the unit cell. Conversely, the $\beta \rightarrow \alpha$ transformation is explained as the combination of twinning of the phase into "an intermediate α -phase," readjustment of the cell size, and reshuffling of the atoms.

C. A. 1972. 77.6

БР-XVI-742

1872

22 Б750. Трансформационный механизм превращения $\alpha \rightleftharpoons \beta$ в FeSi_2 . Le Corre C., Genin J.-M. Transformation mechanisms of the $\alpha \rightleftharpoons \beta$ transition in FeSi_2 . «Phys. status solidi (b)», 1972, 51, № 1, K85—K88 (англ.)

С использованием известных лит. данных по структурам двух полиморфных модификаций FeSi_2 . (I): низкот-рной ромбич. β -I (a 9,863, b 7,791, c 7,833 Å) и высокот-рной тетрагон. α -I (a 2,69, c 5,13), а также данных электронномикроскопич. и электронографич. исследования этих модификаций (см. РЖХим, 1970, 16Б734) проведена кристаллографич. трактовка полиморфного превращения $\alpha \rightleftharpoons \beta$, происходящего при $t=957^\circ$. Сравнение структур β - и α -I показано, что этот переход может быть описан как результат двойникования α -I, характеризующийся двойниковой плоскостью $(110)_\alpha$, направлением относит. сдвига двой-

Х-1872-22

П
кос

никовых индивидов $[001]_{\alpha}$, и величиной этого сдвига, равной отношению c/a осей β -фазы, т. е. $\sim 1,26$. Выведенные теоретически в предположении подобного типа двойникования параметры ромбич. решетки так называемой «идеализированной» фазы β лишь незначительно отличаются от реальных параметров β -I и могут быть приведены к ним сжатием на 4% в направлении $[100]_{\alpha}$ и расширением на 2,5% и 3% в направлениях $[010]_{\beta}$ и $[001]_{\beta}$, соотв. Отмечено, что истинная структура β -I отличается от «идеализированной», построенной за счет двойникования α -I, лишь незначит. смещением атомов. Поскольку при переходе $\beta \rightarrow \alpha$ происходит одновременное образование FeSi, то предполагается, что в структуре α -I имеет место нек-рый дефицит атомов Fe. На основании проведенного анализа переход $\beta \rightarrow \alpha$ трактуется как проходящий в три этапа: изменение закона двойникования α -I на новый, характеризующийся плоскостью двойникования $(001)_{\beta}$ и направлением относит. сдвига двойниковых индивидов $[100]_{\beta}$, небольшим смещением атомов и незначительной диффузией Fe.

С. В. Рыкова

Fe-Si (сплав)

1972

2 E613. Упорядочение в твердых железо-кремнистых сплавах. III. Теплоемкость. Ettwig Hans Heinrich, Pfefferhoff Wegner. *Ordnungsumwandlungen in krz. Eisen-Silizium-Legierungen. III. Spezifische Wärme.* «Z. Metallk.», 1972, 63, № 8, 453—456 (нем.; рез. англ.)

(C_p) Измерена теплоемкость сплавов Fe—Si (15—26 ат.% Si), медленно охлажденных после отжига при т-рах вблизи точки плавления. Аномальное изменение теплоемкости в интервале 850—1150°С свидетельствует о протекании процессов разупорядочения. По характеру зависимости C_p от T делается вывод о том, что это превращение 2-го рода. Этому заключению противоречит наличие двухфазной области между упорядоченной и неупорядоченной фазами. Ч. II см. РЖФиз, 1972, 9Е486. Б. Могутинов

РЭУФЗ - 73-2

Fe_xSi_y

1972.

#144789b Ordering transitions in body centered cubic iron-silicon alloys. III. Heat capacity. Ettwig, Hans Heinrich; Pepperhoff, Werner. (Forschungsinst., Mannesmann A.-G., Duisburg-Huckingen, Ger.). *Z. Metallk.* 1972, 63(8), 453-6 (Ger). Measurements of the heat capacity of Fe alloys contg. 15-26 at. % Si at 300-1200° and conclusions from neutron-diffraction studies showed that reactions occurring in this temp. range are ordering transitions of 2nd degree.

(C_p)

C.A. 1972. 77.N22.

FeSi

1979

14 Б712. Определение теплот образования интерметаллидов в изотермическом калориметре методом спекания. Горелкин О. С., Дубровин А. С., Колесникова О. Д., Чирков Н. А. «Ж. физ. химии», 1972, 46, № 3, 754—755

App
Предложена методика определения теплот образования силицидов или др. интерметаллидов в калориметре большой емкости спеканием смесей порошкообразных компонентов за счет тепла горения металлотермических шихт. Определены теплоты образования ΔH° (298, ккал/моль) ряда силицидов и боридов: 18 ± 2 (FeSi), 112 ± 13 (V_5Si_3), 36 ± 6 (VSi_2), 122 ± 22 (Nb_5Si_3), 17 ± 3 (FeB), 16 ± 5 (Fe_2B), 24 ± 3 (NiB), $74,5 \pm 9$ (Ni_4B_3).

Резюме

+4

1972

14

1972

FeSi

159234v Determination of the heats of formation of intermetallic compounds in an isothermal calorimeter by a sintering method. Gorelkin, O. S.; Dubrovin, A. S.; Kolesnikova, O. D.; Chirkov, N. A. (Nauchno-Issled. Inst. Metall., Chelyabinsk, USSR). *Zh. Fiz. Khim.* 1972, 46(3), 754-5 (Russ). Heats of formation of FeSi, V₅Si₃, VSi₂, Nb₅Si₃, FeB, Fe₂B, NiB, and Ni₃B, were detd. as -18 ± 2 , -112 ± 13 , -36 ± 6 , -122 ± 22 , -17 ± 3 , -16 ± 5 , -24 ± 3 , and -74.5 ± 9 kcal/mole, resp. The compds. investigated were prep'd. from powd. Si, B, V, Nb, Ni, and Fe of given purities and pressed at ~ 4000 kg/cm². The microhardness measurements of FeB, Fe₂B, NiB, and Ni₃B gave the results: 1620-780, 1305-445, 1260-380, and 1210-90 kg/mm², resp. J. Pietkiewicz

+4

X

C.A. 1972. Pb. 26

FeSi_x

1972

10531u Thermochemistry of alloys containing aluminum, silicon, and boron. Gorelkin, O. S.; Dubrovin, A. S.; Kolesniková, O. D.; Demídov, Yu. Ya.; Chirkov, N. A. (USSR). *Proizvod. Ferrosplavov* 1972, No. 1, 123-37 (Russ). From *Ref. Zh., Met.* 1972, Abstr. No. 12A26. Heats of formation were detd. in a large vol. isothermal calorimeter for the following alloys: Fe-Al, V-Al, Mo-Al, Nb-Al, Fe-Si, V-Si, Nb-Si, Fe-B, Ni-B, Fe-V-Si, Nb-Fe-Si and Nb-Al-Si. A method for detn. of heats of formation of alloys in a calorimetric bomb is proposed.

(ΔH_f)

+//

C.A. 1973. 79 No 2



FeSi (rc)

1973

Bairu Y., et al

298-900

moer I, cup. 303.

● $(\cos \theta_F) I$

FeSi

1973

) 11 E498. Экспериментальные исследования теплоемкости при низких температурах. Maglund Kagi. Experimental investigations of specific heat at low temperatures. Diss. «Acta Univ. upsal. Abstrs Uppsala Diss. Fac. Sci.», 1973, № 255, 14 pp. (англ.)

Cp

Описана методика измерений. Сообщается о результатах исследований теплоемкости и электронного вклада в нее для моносилицидов, моногерманидов и моностанинидов железа и кобальта, а также некоторых двухмерных систем. Получены сведения о теплоемкости сплавов Fe—W и некоторых других сплавов.

Б. Е. Зиновьев

≠. 1973 № 11

54



FeGe; FeSn;
CoSi; CoGe; CoSn;

1973

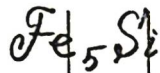
FeSi₂

53000h Thermodynamics of the oxidation of silicon dissolved in metal. Sibirzyanov, T. G. (Kirovograd, USSR). *Izv. Akad. Nauk SSSR, Metal.*, 1973, (6), 64-6 (Russ). The reaction $\text{Si}_{\text{soln.}} + \text{O}_{2(g)} = \text{SiO}_{2(\text{g})}$ is broken down into 5 stages. Values of heat of reaction ΔH_T° and enthalpy change ΔS_T° are calcd. for each stage by using the usual thermodyn. equations and the value for the heat of mixing of Fe and Si, derived from the linear relation between the molar enthalpy and the Fe-Si mole fractions. By summation ΔH_T° and ΔS_T° are obtained for the complete reaction. The std. potential change at const. pressure and temp., ΔZ_T° , calcd. from the equation $\Delta Z_T^\circ = \Delta H_T^\circ - T\Delta S_T^\circ$, is $-182,000 + 54.64 T$ (cal/mole) in good agreement with the published data. The Fe-Si complex in the liq. soln. has the approx. compon. FeSi₂.

A. S. Wilson

C.A.1974. 80. N10

1974



³ Тензомеханическость Mn_5Si_3 , Fe_5Si_3 и Cr_5Si_3 при низких темпера-
турах.

(Cp)

Кашинская Г.И.

"Физ. твердого тела" 1974, 16, N7,
2123-2125.

ф. 1974. N11



(cell Mn_5Si_3 , I)

Fe_2Si

1974.

9 19 Б513. Кристаллическая структура высокотемпературной Fe_2Si . Khalaf K., Schubert K. Kristall-

struktur von $\text{Fe}_2\text{Si}(h)$. «J. Less—Common Metals», 1974,
35, № 2, 341—345 (нем.)

Проведено рентгенографич. исследование (метод порошка, λFe) высокот-рной модификации Fe_2Si (I), полученной взаимодействием элементов при $t=1150^\circ$. Параметр кубич. решетки: $a = 2,81 \text{ \AA}$, ф. гр. $P\bar{t}3m$. Анализ интенсивностей рентгенограмм порошка позволил уточнить, что I обладает структурой не типа Fe_3Si , как предполагалось ранее, а CsCl , в к-рой одно кристаллографически независимое положение полностью занято атомами Fe, а др. статистически занято $\text{Fe}_{0,33}\text{Si}_{0,66}$. Приведены значения $\sin^2\theta$, I, hkl рентгенограммы порошка I.

С. В. Соболева

Кристаллическая
структура

Х. 1974 n 19

FeSi

1974

8 E1518. Теплоемкость бинарных соединений FeSi, CoSi, FeGe и CoGe. Marklund Kari, Larsson Mats, Byström Stig, Lindqvist Torsten. The specific heat of the binary compounds FeSi, CoSi, FeGe and CoGe. «Phys. scr.», 1974, 9, № 1, 47—50 (англ.)

(C_p)

В диапазоне т-р 0,5—9° К исследована теплоемкость соединений кубич. структуры B-20 — FeSi, CoSi, FeGe и моноклинной CoGe. Теплоемкость описывается уравнением вида $C_p = AT^{-2} + \gamma T + \beta T^3$, где первый член характеризует сверхтонкий ядерный вклад, а другие два — обычный электронный и решеточный вклады. Коэф. A для FeSi равен 4,12 млдж. \cdot К/моль, для других соединений этот коэф., по крайней мере, на порядок меньше. Коэф. электронной теплоемкости γ составляет для FeSi, CoSi, FeGe и CoGe 1,37, 1,1, 10,31, 6,67 млдж/моль \cdot К 2 соответственно, а т-ры Дебая для первых трех в-в соответственно равны 515 ± 2 , 487 ± 6 и 315 ± 1 ° К. Обсуждаются особенности электронной зонной структуры исследованных соединений. Библ. 22.

В. Е. Зиновьев

Ф. 1974 № 8

7.3

☒

1974

FeSi

74941f Specific heat of the binary compounds iron(II) silicide, cobalt(II) silicide, iron-germanium and cobalt-germanium. Marklund, Kari; Larsson, Mats; Bystrom, Stig; Lindqvist, Torsten (Inst. Phys., Univ. Uppsala, Uppsala, Swed.). *Phys. Scr.* 1974, 9(1), 47-50 (Eng). The sp. heat of the cubic compds. FeSi, CoSi, and FeGe and the monoclinic CoGe were measured in the temp. range 0.5-9°K. The values of the electronic sp. heat coeff., γ , are 1.37, 1.1, 10.31, and 6.67 in $J \cdot mole^{-1} \cdot degree^{-2}$, resp.

(Cp)

+3

18

C.A.1974.80. N14

1974

 Fe_5Si_3 FeSi Fe_3Si_x $T+\chi$

grazob.

guarip.

(+) C.A. 1977 86 n2 

1974: 9147m Physicochemical study of intermetallic compounds in iron-silicon and nickel-silicon systems. Panteleimonov, L. A.; Zubenko, V. V.; Badtiev, E. B. (Mosk. Gos. Univ. im. Lomonosova, Moscow, USSR). *Tezisy Dokl. - Vses. Konf. Kristallokhim. Intermet. Soedin.*, 2nd 1974, 115-16 (Russ.). Edited by Rykhal, R. M. L'vov. Gos. Univ.: Lvov, USSR. The limits of solid soln. regions were detd. in compds. Fe_5Si_3 , FeSi , Ni_3Si , Ni_5Si_2 , Ni_2Si , Ni_3Si_2 , NiSi , NiSi_2 , and Fe_3Si_x . Microscopic observation showed that Ni_5Si_2 is formed peritectically at 1267° . Ni_2Si and NiSi_2 display polymorphous alterations. Fe_5Si_3 and Ni_3Si undergo changes in solid state. Crystal structures were detd. in Fe_5Si_3 , FeSi , Ni_3Si , Ni_2Si , Ni_5Si_2 , Ni_3Si_2 , NiSi_2 . The crystallochem. properties of low- and high-temp. leboite were also detd.

K. Sigler

 Ni_5Si_2

Fe - Si (cndab)

1975

160964p Thermodynamic properties of liquid iron-silicon alloys. Sudavtsova, V. S.; Batalin, G. I.; Ul'yanov, V. I. (Kiev Gos. Univ. im. Shevchenko, Kiev, USSR). *Izv. Akad. Nauk SSSR, Neorg. Mater.* 1975, 11(1), 66-71 (Russ). Thermodn. properties of molten Fe-Si alloys [11105-47-8] over the entire

range of compn. were studied by the emf method at 1770-1900°K. The activity coeffs., heat of mixing, entropy of mixing, and free energy of mixing are presented and correlated with literature data.

S. A. Mersol

(ΔH_{mix})
(ΔS_{mix})
(ΔG_{mix})

C.A. 1975, 22 v24

60504.7250

Ph,Ch,DB,TC

MGU

31573

1976

Fe-Si (смесь)

4242

Marchal G., Mangin Ph., Janot Chr.

Magnetism in amorphous Fe-Si alloys.

"Solid State Commun.", 1976, 18, N 6,

739-742

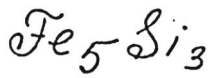
(англ.)

0613 РНК

ВИНИТИ

584 589

605



Sudakova N.P. 1976

T_{tr}

Dokl. Akad. Nauk SSSR
1976, 228(3) 582-5 [Phys]
(Russ)

(analog Mn_5Si_3 ; I)

1976

Fe_5Si_3

12 Б872. Термические свойства η -фазы системы Fe—Si. Судакова Н. П., Калишевич Г. И., Кренцин Р. П. «Изв. АН СССР. Неорг. материалы», 1976, 12, № 2, 354—355

Измерены истинная теплоемкость (от 13 до 370 К), коэф. линейного расширения (от 70 до 400 К) и намагниченность (от 4,2 до 370 К) однофазных поликристаллов Fe_5Si_3 . Т-ра Кюри данного силицида составляет 360 ± 5 К, средн. магнитный момент, приходящийся на атом железа, равен $1,11 \pm 0,02$ μ_B . Теплоемкость, энталпия и энтропия Fe_5Si_3 в станд. состоянии при 298,15 К равны соотв. 24,95; 4323 и 26,70 дж/г-атом·К. Рассчитанный методом термодинамич. коэф. скачок теплоемкости в точке Кюри составил 1,7 дж/г-атом·К.

Автореферат

C_p, T_{Ku}, S

1976 № 12

Fe₅-Si₃

1976

85: 10923x Thermal properties of the iron-silicon system
- η -phase. Sudakova, N. P.; Kalishevich, G. I.; Krentsis, R. P.
(Ural. Politekh. Inst. im. Kirova, Sverdlovsk, USSR). *Izv. Akad. Nauk SSSR, Neorg. Mater.* 1976, 12(2), 354-5 (Russ).

Cp, D₂₀, T_{cy}

The apparent heat capacity C_p of Fe₅Si₃ [12023-77-7] was measured at 13-370°, linear thermal-expansion coeff. at 70-400°, magnetization at 4.2-370°, and ultrasound absorption at ~315 to ~365°K. The enthalpy and C_p of the silicide at 298.15°K are 4323 and 24.95 J/g-atom, resp. The Debye and Curie temps. of the phase are 440 and 355°K, resp. The overall results indicate that the temp. of the ferromagnetic \rightarrow paramagnetic transition is 360 ± 5 °K.



C.A. 1976 85 n2

FeSi

1977

88: 98242v Magnetic properties of the compound iron silicide (FeSi) and solid solutions based on iron silicide (FeSi), cobalt silicide (CoSi), and nickel silicide (NiSi). Chechernikova, O. I.; Panteleimonov, L. A.; Badtiev, E. B.; Petrushkova, O. S. (Mosk. Gos. Univ., Moscow, USSR). *Vestn. Mosk. Univ., Ser. 2: Khim.* 1977, 18(4), 433-5 (Russ). The magnetic properties of FeSi, CoSi, and NiSi compds. and their solid solns. in Fe-Si and Fe-Co-Si systems were studied. FeSi is antiferromagnetic below 400 K. C. A. Konak

Ttr

C. A. 1978. 88 n 14

FeSi

1974

Pd₂Si

ΔH_f

87: 190145t Calculation of heats of formation of compounds from calorimetric and x-ray data. Kozlov, Yu. S.; Vatolin, N. A.; Pastukhov, E. A.; Demidovich, O. V. (USSR). Czech. Conf. Calorimetry, [Lect. Short Commun.] 1st 1977, D14/1-D14/3 (Eng). Inst. Inorg. Chem. Czech. Acad. Sci.: Prague, Czech. The effective coordination nos. of Fe, Pd, and Si and the heat of formation, ΔH_f , of FeSi and Pd₂Si were calcd. by using the method proposed by O. Kubaschewski (1959) for calcg. the ΔH_f of intermetallic compds. The calcd. ΔH_f values agree well with calorimetric heat of mixing, ΔH_m , and x-ray structural data on Fe-Si and Pd-Si molten systems. In systems with strong chem.

compd. formation, the ΔH_f and ΔH_m values are related and the possibility of calcg. both of these thermodn. values from exptl. x-ray data is indicated.

(+1) Ø



C.T., 1974, 84, N24

$Fe_x Si$
(cubic)

1977

Kotlova, V.S. et al.

Proc. Inst. Khar'kov, 7th 1977,
L, 55-6.

(H_f)



coll. N.B._x Si - 1

Fe₂Si

*Кристалл.
смесь*

1977

13 Б374. Кристаллическая структура Fe₂Si и ее сходство с упорядоченной структурой смешанных кристаллов α -(Fe, Si) и структурой Fe₅Si₃. Kudielka Heinz. Die Kristallstruktur von Fe₂Si, ihre Verwandtschaft zu den Ordnungsstrukturen des α -(Fe, Si)-Mischkristalls und zur Fe₅Si₃-Struktur. «Z. Kristallogr.», 1977, 145, № 3/4, 117—189 (нем.; рез. англ.)

В системе Fe—Si сплавлением элементов синтезирована фаза Fe₂Si с областью гомогенности в пределах содержания Si от 33,2 до 33,5 ат.% и проведено ее рентгенографич. исследование (метод порошка) как в области высоких т-р [фаза I], устойчивая в диапазоне 1215—1040°, так и в закаленном состоянии II). Для I установлена гексагон. решетка с параметрами $a = 4,052$, $c = 5,085$ Å, ф. гр. $P\bar{3}m1$. Структура I может быть представлена как сочетание структурных упорядоченных состояний A₂ и B₂ смешанных кубич. кристаллов α (Fe, Si) (III). Эта структура является пр-ной от структурного типа NiAs и близка к Fe₅Si₃. При понижении т-ры параметры решетки I линейно сжимаются; коэф. линейного расширения решетки в диапазоне

2-1977, N13

1060—1180° равен $2,9 \cdot 10^{-5}$, что гораздо выше значения $1,7 \cdot 10^{-5}$, характерного для Fe₃Si. Закаленная фаза II характеризуется структурным типом DO₃ (частично упорядоченное состояние III) и параметром кубич. решетки $a = 5,61$ Å, ф. гр. Fm3m. Положение 8c полностью заселено атомами Fe, положение 4a — 41,5% Fe + 58,5% Si, положение 4b — 25% Fe + 75% Si. Приведены значения $\sin^2\theta$, I, hkl рентгенограммы порошка I.

С. В. Соболева

oe п
: с

1987

Fe₃₈Si

Ref: 99543q Elastic constants and electrical resistivity of iron-silicon (Fe:Si). Rausch, J. B.; Knayser, F. X. (Ames Lab., Iowa State Univ., Ames, Iowa). *J. Appl. Phys.* 1977, 48(2), 487-93 (Eng). The elec. resistivity and elastic consts. of slowly cooled single-crystal specimens of the ordered alloy Fe:Si (cubic, DO₃ structure) were measured from 4.2 K to room temp. The residual resistivity (ρ_0) was 0.6 $\mu\Omega\text{-cm}$. By inferring that the compn. been exactly stoichiometric, which it was not, and also that the crystal is free of internal voids generated during growth from the melt, the ρ_0 would have approached zero (a behavior that has not been reported previously for a (nonsuperconducting) long-range ordered alloy). The temp. dependences of the directly measured adiabatic elastic consts. were (uncorrected for thermal contraction; T in °K): $C_L(T) = [3.410 - 0.2656/\{\exp(367/T) - 1\}] \times 10^{11} \text{ N/m}^2$; $C(T) = [1.405 - 0.0563/\{\exp(227/T) - 1\}] \times 10^{11} \text{ N/m}^2$; $C'(T) = [0.4183 - 0.1132/\{\exp(393/T) - 1\}] \times 10^{11} \text{ N/m}^2$. Calcd. values for the isothermal Young's modulus (E), the shear modulus (G), and the Poisson ratio (ν) of a polycryst. aggregate of Fe:Si possessing a random distribution of crystallite orientations are, for $T = 295 \text{ K}$: $E = 2.15 \times 10^{11} \text{ N/m}^2$, $G = 0.625 \times 10^{11} \text{ N/m}^2$, and $\nu = 0.293$. The Debye temp. of the alloy at 0 K is 591.1 K.

Dz

C-H. [889
86.14]

Fe - Si

(сплав)

1978

Лесног Н.В., Генриховский Н.С.

Структура и фазовое про-
цесси в системах. исследов.
тв. и публ. системе,
1976 (издс. 1978), 12-26.

16,4 S



(ав. Fe-Si ; I)

Fe - Si ~~Alloys~~

1978

(P) 90: 93249j Calculations of equilibrium in heterogeneous systems. Kulikov, I. S. (USSR). *Strukt. Faz Protsessy Vosstanov. Elem. Tverd. Zhidk. Sist., [Mater. Vses. Nauchn. Semin.]* 1976 (Pub. 1978), 40-53 (Russ). Edited by Ageev, N. V. Izd. Nauka: Moscow, USSR. A thermodn. anal. of the Si-O-C system using published data gave equil. partial pressures of various species (O_2 , O, Si, SiO , C, C_2 , CO , CO_2 , etc.) at 1000-3000 K. Activities and liq. compns. were calcd. for the Fe-Si-C system at 1473-1963 K. Partial pressures were then calcd. in the combined Fe-Si-C-O system.

C.A. 1979. 90 n12

19.08

*FeSi₂**Hg*

14 Б822. Исследование образования FeSi_2 из эвтектики $\text{FeSi}-\text{Fe}_2\text{Si}_5$. Sakata T., Sakai Y., Yoshihino H., Fujii H., Nishida I. Studies on the formation of FeSi_2 from the $\text{FeSi}-\text{Fe}_2\text{Si}_5$ eutectic. «J. Less-Common Metals», 1978, 61, № 2, 301—308 (англ.)

Для изучения образования $\beta\text{-FeSi}_2$ (I) как функции т-ры отжига образцов и времени использован композит со сложной структурой, полученный при затвердевании эвтектики $\alpha\text{-Fe}_2\text{Si}_5$ и $\varepsilon\text{-FeSi}$. Исследование выполнено методом металлографии, РФА, а также микроанализа с помощью электронного зонда. Обнаружено, что механизм образования I сильно зависит от т-ры отжига. Выше 865° по перитектоидной р-ции $\alpha+\varepsilon \rightarrow \beta$ образуется I. Показано, что скорость его образования падает с ростом т-ры, и выше 950° I не образуется даже через 200 час. Наоборот, при т-ре ниже 860° I образуется в результате диспропорционирования $\alpha \rightarrow \beta + \text{Si}$. При т-ре 800° α полностью переходит в I через 4 часа. Отмечается образование I также в результате побочной р-ции $\varepsilon + \text{Si} \rightarrow \beta$.

В. А. Трифонов

2.1979/НЧ

1978

FeSi_x
(cubic)

93: 12106x Study of thermal characteristics of melts in an iron-silicon binary system. Zedina, I. I.; Chemykhin, V. I.; Kormilitsyn, S. P.; Vaisburd, S. E. (Inst. "Gipronikel", Leningrad, USSR). *Tezisy Nauchn. Soobshch. Vses. Konf. Str. Svoistvam Met. Shlakovykh Rasplavov*, 3rd 1978, 2, 202-5 (Russ). Akad. Nauk SSSR, Ural. Nauchn. Tsentr: Sverdlovsk, USSR. Quant. relation of enthalpies and heat capacity of Fe-Si [11105-47-S] melts to element concn. in the melt and temp. was studied. The relation of melt enthalpy was detd. from enthalpy measurements between the m.p. and 2100 K. Temp.-concn. dependence of enthalpies and heat capacity of the melts to 2100° was derived.

Cp, H_T-H₀

CA 1980 93 n2-

Fe Si тезисы у. Невеузе

1949

Касимов Г.И. и др.

(*cp*)
8 Всесоюзная конференция по
калориметрии и химической
термодинамике. 25-29 сентября
1979г. г. Иваново.
Тезисы докладов.

спр. ЗФ.

1979

Fe₃Si

Ttx

91: 221465m Magnetostatic interactions in a duplex ferromagnetic alloy. Livingston, James D.; Berkowitz, Ami E.; Walter, John L. (Corp. Res. Dev., Gen. Electr. Co., Schenectady, NY 12301 USA). *IEEE Trans. Magn.* 1979, MAG-15(5), 1295-9 (Eng). The chill-cast alloy, Fe₇₅Si₁₅B₁₀, consists of submicron rods of Fe₂B, a magnetically "hard" phase with high T_c , in a matrix of Fe₃Si, a "soft" phase with low T_c . Magnetic properties change markedly on cooling through 590°, the T_c of Fe₃Si, and 245°, where the magnetocryst. anisotropy of Fe₂B changes from easy-axis to easy-plane. The unusual magnetic and thermomagnetic behavior obstd. is discussed in terms of the short-range and long-range magnetostatic interactions between the 2 phases.

C.A.1979.01N26

Fe_{Si}_x

1979

Mason K. N.

Progr. Cryst. Growth and
Charact., 1979, 2, n 4,
269-304

T_m



Cee Ti Si_x; I

1979

Fe_5Si_3

Fe_3Si_7

(Tet)

90: 210969g Phase diagram of an iron-silicon system.
Penteleimonov, L. A.; Badtiev, E. B.; Zubenko, V. V. (USSR).
Vestn. Mosk. Univ., Ser. 2: Khim. 1979, 20(2), 184 (Russ).
Study of Fe-Si melts showed formation of Fe_3Si , Fe_5Si_3 , and

FeSi . The compds. Fe_5Si_3 and Fe_3Si_7 undergo transitions in the solid state at 845 and 995°, resp.

C.A 1979, 90, N24

FeSi

CoSi

(*C_p*)

+1

x 1980 N 17

Оттиск 15140

1980

У 7 Б836. Низкотемпературная теплоемкость твердых растворов $Fe_{1-x}Co_xSi$. Калишевич Г. И., Ромашева Л. Ф., Сычев Н. И., Гельд П. В. «Физ. тверд. тела», 1980, 22, № 4, 1242—1244

В интервале T -р 13—80 К измерены теплоемкости $FeSi$, $CoSi$ и 6 их тв. р-ров $Fe_{1-x}Co_xSi$ с x от 0,1 до 0,8. Для составов $0,1 \leq x \leq 0,7$ на т-рных зависимостях C_p отмечены размытые аномалии, связанные с переходом сплавов из ферро- в парамагнитное состояние. Оцененные по ним т-ры Кюри максимальны у сплавов, близких к эквиатомному составу. Рассчитаны коэф. зависимостей $C_p = \gamma T + \beta T^3$. В электронном спектре тв. р-ров имеется узкая полоса с высокой плотностью электронных состояний, максимум к-рой соответствует составам, близким к $x=0,5$. Установленные особенности могут служить указанием на зонную природу магнетизма тв. р-ров $Fe_{1-x}Co_xSi$.

А. С. Гузей

FeSi

CoSi

NiSi

(endab)

(ΔS_{mix})

Oesmuck 10997

1980

'94: 37323z On the entropy of mixing of liquid transition metal based alloys. Khanna, S. N.; Cyrot-Lackmann, F.; Hicter, P. (Groupe Transitions Phases, CNRS, 38042 Grenoble, Fr.). *J. Chem. Phys.* 1980, 73(9), 4636-9 (Eng). Exptl. results on the entropy of mixing of liq. transition-metal-based alloys FeSi, CoSi, and NiSi show that there are exceptional neg. entropies of mixing. This effect is due to the filling of the d -band of the transition metals.

⑦2



C.A.1981.94.N6

1980

Fe-Si

Co-Si

Ni-Si

(ΔS_{mix})

94: 8259e Electronic contribution to the entropy of mixing of liquid transition metal-based alloys. Khanna, S. N.; Cyrot-Lackmann, F.; Hicter, P. (Groupe Transition Phases, CNRS, 38042 Grenoble, Fr.). *J. Phys., Colloq.* (Gracy, Fr.) 1980. (CS), 582-5 (Eng). From exptl. results on the entropy of mixing of liq. transition metal alloys with Si (Fe-Si, Co-Si, and Ni-Si) there is an exceptional neg. entropy of mixing. This effect is due to the electronic contribution of entropy which is proportional to the d. of states at the Fermi level. As the transition metal is alloyed with Si, the free valence electrons of Si produce an s-d transfer leading to a filling of the d-band. This leads to a decrease of entropy at alloying due to decrease in d. of states at the Fermi level. The variation in the concn. of Si, for min. entropy, is due to the difference in the filling and the shape of the d-bands in the pure liq. metals.

(t2) ☒

P.A.1981 94 NR

1980

6146 - XVI

FeSi_x creas (phas. grupp.)

Schmid R.,

CALPHAD: Comput. Coupling Phase
Diagrams Thermochem. 1980, 4(2),
101-8.

Thermodyn. ana ●ysis of ...

C.A. 1980, 93, N₁₂, 1211284

An



FeSi_x (mc. endat)

1980

93: 30024y Mass spectrometric study of the activity in liquid iron-silicon alloys at 1600°C. Yamada, Keisaku; Abe, Hiroshi; Kato, Eiichi (Cast. Res. Lab., Waseda Univ., Tokyo, Japan 160). *Tetsu to Hagane* 1980, 66(5), 488-95 (Japan). The activities of Si and Fe in the Fe-Si system were detd. at 1600° by the use of a combination of a mass spectrometer and a Knudsen cell. To suppress the prodn. of SiO gas, ThO₂ was used for cell material.

trace -
cross ref.

CA 1980 93 n 4

1980

FeSi_x
(enrich)

T_m, Δg_m
grazab.
gracp.
ΔH_f, V_p

93: 121125y Thermodynamic analysis of the melting equilibria in the iron-silicon system. Schmid, Rainer (Inst. Eisenhuettenkd. Giessereiwes., Tech. Univ. Clausthal, Clausthal, Fed. Rep. Ger.). CALPHAD: Comput. Coupling Phase Diagrams Thermochem. 1980, 4(2), 101-8 (Eng). The published exptl. values for the thermochem. properties and phase boundaries of Fe-Si alloys were evaluated. The resulting self-consistent set of data was used to calc. the phase diagram in agreement with the exptl. results.

CA 1980 93 N12

Fe_2Si

1980

$FeSi$

1) 22 Б742. Термодинамический анализ равновесий плавления в системе железо—кремний. Schmid Rai-
пег. Thermodynamic analysis of the melting equilibria
in the iron-silicon system. «CALPHAD», 1980, 4, № 2,
101—108 (англ.)

Проанализированы лит. данные о термодинамич. св-вах компонентов системы Fe—Si. Рекомендованы т-ры и свободные энергии плавления Fe (объемноцентр., куб.) $T = 1809$ К, ΔG (Дж/моль) = $13\ 815 - 7,637T$; $Fe_2Si(I)$ 1483 К, $46\ 277 - 31,205T$; $FeSi(II)$ 1683 К, $58\ 615 - 34,828T$; Si 1685 К, $50\ 660 - 30,065T$. Энталпии

T_m ; Δf_{m^*} ,

ΔH_f ; K_p

Х. 1980, № 22

образования тв. I и II из тв. элементов приняты равными $-75\ 632$ и $-74\ 990$ Дж/моль соотв. Для вычисления избыточной энергии Гиббса образования тв. куб. сплавов и жидк. р-ров рекомендованы зависимости ΔG^E (тв., Дж/г-ат.) $= x_{Fe} \cdot x_{Si} [x_{Fe}(-81\ 857 - 11,470T) + x_{Si}(-94\ 995 + 148,875T) + x_{Fe} \cdot x_{Si}(-224\ 641 - 21,609T)]$ и ΔG^E (ж.) $= x_{Fe} \cdot x_{Si} [x_{Fe} \cdot (-134\ 530 + 16,517T) + x_{Si}(-104\ 760 + 32,535T) + x_{Fe} \cdot x_{Si}(-174\ 246 + 73,273T)]$, в к-рых x — ат. доля элемента в сплаве. Построена фазовая диаграмма системы Fe—Si и графич. зависимости парц. и интегральных энталпий и энтропий р-рения жидк. сплавов. Установлено хорошее соответствие расчетных зависимостей с эксперим. данными.

П. М. Чукуров

FeSi_x

1981

Yaguchi, Yasutaka,
et al.

ΔH_{mix} Tetsu to Hagane
1981, 67 (7), 925-932.

(Cu, Fe Co_x, I)

Fe-Si

Chart

1982

memos
Cf - 6A

98: 96635h Critical assessment of thermodynamic data for the iron-silicon system. Chart, T. G. (Natl. Phys. Lab., Div. Mater. Appl., Teddington, UK). Comm. Eur. Communities, [Rep.] EUR 1982, EUR 7820, Pt. 2, 5-1/5-35 (Eng). Thermodn. data for the liq. and solid phases of the Fe-Si system were critically assessed. A set of interconsistent values which are also consistent with the phase diagram, are provided. Heats and entropies of formation and transformation and heat capacities are given. The phase diagram data were critically evaluated and a recommended phase diagram is presented. Auxiliary data, required for the interpretation of exptl. results (for SiO and the Ag-Si system) were also assessed.

C.A. 1983, 98, N 12.

Fe_3Si

Ecm

1982

98: 41682r Heats of formation of molten iron-silicon (Fe_3Si) alloys with yttrium and lanthanum. Esin, Yu. O.; Ermakov, A. F.; Valishev, M. G.; Gel'd, P. V.; Levin, E. S. (Ural. Politekh. Inst., Sverdlovsk, USSR). *Zh. Fiz. Khim.* 1982, 56(10), 2619-20 (Russ). Partial and integral heats of formation of quasibinary liq. alloys Fe_3Si -(0-40 at.%) Y at 1914 K and Fe_3Si -(0-43 at.%) La at 1920 K were detd. colorimetrically. Min. integral heats of alloying were obsd. at 24 and 18 at.% Y and La, resp.

SHfj

C.A. 1983, 98, N6.

Fe-Si
craab

1983

Demin S.E., Esin Yu.O.,
et al.

Fiz. Svoistva Met.
Splavor 1983, 4, 75-8.

(Feu. • V-Si ; -)
craab ; -)

Fe_3Si

1983

17 Б3118. Переход «порядок — беспорядок» в сплаве Fe_3Si при механическом измельчении. Елсуков Е. П., Баринов В. А., Галахов В. Р., Юрчиков Е. Е., Ермаков А. Е. «Магнит. свойства кристал. и аморф. материалов». Иркутск, 1983, 9—12

Методами рентгеноструктурного анализа и ЯГР исследовано влияние мех. измельчения (время от 1 мин до 30 ч) на структурное состояние сплава $Fe + 24,5$ ат.% Si. В упорядоченном исходном образце наблюдалось 2 группы рефлексов, структуры объемно-цент. кубич. $a = 2,8302$ и сверхструктуры $a' = 5,660$ Å. В спектре ЯГР присутствует 3 секстета $H_0 = 312$,

драфт. первая

X. 1984, 19, N 17

$H_4=200$ и $H_3=249$ кЭ (цифры 0, 4 и 3 соответствуют числу атомов Si в 1-й координац. сфере). При дроблении в спектрах происходили сильные изменения, однако образования аморф. структуры не наблюдалось и после 30 часов. После 5 ч размер зерна ~ 1 мкм. Анализ данных показывает, что при измельчении происходит структурный переход типа порядок — беспорядок. Значение параметра a увеличивается до 2,833 Å, уд. намагниченность σ уменьшается от $140 \cdot 10^{-7}$ (1,83 мв на атом Fe) до $130 \cdot 10^{-7}$ Тл·м³/кг (1,51 мв на атом Fe). Сделан вывод, что за процесс разупорядочения сплава ответственна пластич. деформация.

В. А. Ступников

Fe₃Si

1983

5 Е616. Переход порядок—беспорядок в сплаве
Fe₂Si при механическом измельчении. Елсуков Е. П.,
Баринов В. А., Галахов В. Р., Юрчиков Е. Е.,
Ермаков А. Е. «Физ. мет. и металловед.», 1983, 55,
№ 2, 337—340

Методами мёссбауэрской спектроскопии, рентгеновской дифракции и измерениями намагниченности установлено, что механич. измельчение упорядоченного сплава Fe₃Si приводит к разупорядоченному состоянию этого сплава. При разупорядочении наблюдалось увеличение параметра ОЦК-решетки и уменьшение среднего магн. момента на атом Fe в сплаве.

Резюме

cf. 1984, 18, N5

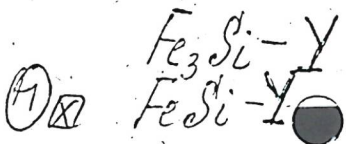
Fe-Si

Ermakov

1983

103: 164718m Enthalpy of formation of liquid iron-yttrium-silicon and iron-yttrium-aluminum alloys. Ermakov, A. F.; Esin, Yu. O.; Levin, E. S.; Petrushevskii, M. S. (Ural. Politekh. Inst., Sverdlovsk, USSR). *Fiz. Svoistva Met. Splavov* 1983, 4, 68-71 (Russ). Partial and integral enthalpies of mixing are reported as simple polynomials of mol. fraction, x , for Fe-Si ($0 \leq x_{\text{Si}} \leq 1$), $\text{Fe}_3\text{Si}-\text{Y}$ ($0 \leq x_{\text{Y}} \leq 0.40$), $\text{FeSi}-\text{Y}$ ($0 \leq x_{\text{Y}} \leq 0.43$), and $\text{FeAl}-\text{Y}$ ($0 \leq x_{\text{Y}} \leq 0.46$). Calorimetric measurements were conducted at 1914-1920°.

(mix H)



c.A.1985, 103, N20

$\text{Fe}_x \text{Si}_y$ 1983

Hirao Kazuyuki,
Kimura Kunio, et al.

C_p ; Proc. Jpn. Symp. Thermo-
phys. Prop., 4th 1983, 51-4.

(c.c. $\text{Fe}_x \text{Py}; T$)

FeSi_x

Om. 19085

1984

16 Б3034. Термодинамические свойства жидкого сплава системы Fe—Si. Мп. Баталин Г. И., Бондаренко Т. П., Судавцова В. С. «Укр. хим. ж.», 1984, 50, № 2, 187—190

Методом калориметрии определены термодинамические свойства жидкого сплава системы Fe—Si при 1970 К во всем концентрационном интервале и системы Mn—Si при 1723 К в области составов $0 < x_{\text{Si}} < 0,3$. Показано, что полученные результаты хорошо согласуются с наиболее достоверными лит. данными.

Автореферат

(1)⊗ MnSi_x

X. 1984, 19, N 16

β -FeSi₂

1984

З Е801. Образование β -FeSi₂ в спеченном эвтектическом сплаве FeSi—Fe₂Si₅. Formation of FeSi₂ from sintered FeSi—Fe₂Si₅ eutectic alloy. Kojima Tsumoto, Masumoto Katashi, Nishida Isao. «Нихон киндзоку гаккайси, J. Jap. Inst. Metals», 1984, 48, № 8, 843—847 (яп.; рез. англ.)

Измерениями электросопротивления и термо-э. д. с., а также металлографическим и рентгеновским методами изучены фазовые превращения в спеченном эвтектическом сплаве при различных т-рах и временах отжига. Установлено, что сопротивление растет с увеличением количества β -FeSi₂. На кривой зависимости сопротивления от т-ры отжига имеются два максимума при т-рах 1123 и 1133 К. Между этими т-рами наблюдается резкое



сб. 1985, 18, № 3

снижение сопротивления. В областях выше 1133 и ниже 1123 К протекают две различные реакции. Ниже 1123 К $\beta\text{-FeSi}_2$ образуется, главным образом, в результате реакции распада $\alpha\text{-Fe}_3\text{Si}_5 \rightarrow \beta + \text{Si}$ и последующей реакции $\text{Si} + \epsilon\text{-FeSi} \rightarrow \beta$. Выше 1133 К $\beta\text{-FeSi}_2$ образуется в результате перитектоидной реакции $\epsilon + \alpha \rightarrow \beta$. В первом случае для получения соединения $\beta\text{-FeSi}_2$ эффективен отжиг при 1113 К в течение $3,6 \cdot 10^4$ с. Библ. 19. Ю. А.

Силицид Fe

Pasturel

1984

10 E600. Термодинамические характеристики образования твердых силицидов и германидов переходных металлов. On the heats of formation of solid germanides and silicides of transition metals. Pasturel A., Hicter P., Cugot-Lackmann F. «Physica», 1984, BC124, № 2, 247—250 (англ.)

Предложена модель, согласно которой энталпии образования силицидов и германидов переходных металлов могут быть представлены в виде суммы двух слагаемых. Первое слагаемое соответствует энергии, необходимой для превращения Si или Ge из неметаллического состояния в металлическое, и может быть оценено по теплотам плавления этих элементов. Второе слагаемое отвечает энергии заполнения d -полосы переходного металла свободными валентными электронами металлического Si или Ge и рассчитывается на основании модели связи. Предсказанные энталпии образования силицидов и германидов железа, кобальта и никеля хорошо согласуются с имеющимися экспериментальными данными. А. И. Зайцев

37114

III

87

75

окт. 1984, 18, N 10

- 1) аморфн Co
- 2) - . - - Ni
- 3) аморфн Fe
- 4) - . - - Co
- 5) - . - - Ni

АРС

Силицид Fe

DM 371141984

19 Б3019. О теплотах образования твердых германидов и силицидов переходных металлов. On the heats of formation of solid germanides and silicides of transition metals. Pasturel A., Hicter P., Cugot-Lackmann F. «Physica», 1984, BC124, № 2, 247—250 (англ.)

Проведен теор. анализ энергетики межатомного взаимодействия при образовании силицидов и германидов Fe, Co и Ni. Показано, что ΔH (обр.) этих соединений может быть представлена двумя вкладами: 1) энталпия перехода ΔE_1 Si или Ge из полупроводникового в металлическое состояние и 2) энталпия (ΔE_2), связанная с заполнением d -зоны переходного металла свободными электронами «металлических» Si или Ge, так что ΔH (обр.) = $(1-x)\Delta E_2 + x\Delta E_1$, где x — конц-ия p -элемента в сплаве. Величина $\Delta E_1 \approx T_{пл} \cdot \Delta S_{пл}$ p -элемента, т. к. при плавлении Si или Ge св-ва в-ва изменяются от полу-

SHf;

☒ 111

X. 1984, 19, N 19

проводниковых к металлич. Получено колич. согласие вычисленных и эксперим. ΔH (обр.) сплавов Fe, Co и Ni с Si и Ge. Проведена теор. оценка ΔH (обр.), ккал/г-атом сплавов Pd_2Si 15,8, $PdSi$ 16, $PdSi_2$ 13,1, Rh_2Si 9, $RhSi$ 11,5, $RhSi_2$ 8,7, Ru_2Si 9, $RuSi$ 10,5, $RuSi_2$ 10,4, Pt_2Si 14, $PtSi$ 16,5, $PtSi_2$ 12, Ir_2Si 3,5, $IrSi$ 6,5, $IrSi_2$ 5, Os_2Si 5, $OsSi$ 4, $OsSi_2$ 5. Л. А. Резницкий

Fe-Si

H..

1985

2 Б3049. Об энергии взаимообмена между атомами кремния и железа. Хрущев М. С. «Изв. вузов. Чер. металлургия», 1985, № 8, 13—17

Посредством обработки эксперим. данных по коэф. активности кремния в расплавах Fe—Si установлено, что энергия взаимообмена между атомами железа и кремния до $x_{Si} \approx 0,4$ мол. доли является функцией т-ры, а при $x_{Si} > 0,4$ функцией как т-ры, так и состава расплавов. Найдены соотношения, описывающие эти зависимости.

Резюме

X. 1986, 19, N 2

Circusurg Fe

1985

Pasturel A.,

Colinet C., et al.

ΔH_f° ; Calphad, 1985, 9, 14,
349-362.

(corr. Circusurg Fe; I)

FeSi

1985

/ 107: 84915r Electron heat capacity of nearly magnetic metals and semiconductors. Povzner, A. A.; Volkov, A. G. (USSR). *Aktual. Vopr. Teplofiz. Fiz. Gidrogazodin., Mater. Vses. Konf.* 1985, 117-20 (Russ). Edited by Rubtsov, N. A.; Shtern, V. N. Akad. Nauk SSSR, Sib. Otd., Inst. Teplofiz.: Novosibirsk, USSR. The effect of the spin d. fluctuation (SDF) on the thermophys. properties of nearly magnetic metals and semiconductors was theor. studied by investigating the SDF effect on the temp.-dependence of the electron heat capacities. The resulting relations were used on FeSi and Pd and the calcd. data are compared to the exptl. values.

(C_{measpl.})

O₄ ⊗ Pd

c.A. 1987, 107, n10

FeSi_x

Raynog

1985

12 E542. Фазовые равновесия в тройных сплавах на основе железа. 16. Критическое рассмотрение строения сплавов железо — молибден — кремний. Critical evaluation of constitution of iron — molybdenum — silicon alloys. Raynog G. V., Rivlin V. G. «Int. Metals Rev.», 1985, 30, № 2, 68—84 (англ.)

С учетом новейших исследований проведен анализ имеющихся эксперим. данных о диаграмме состояния Fe—Mo—Si. В результате построены проекции поверхностей первичной кристаллизации и изотермич. сечение диаграммы при 800° С. В системе имеются два тройных соединения $\tau_1(\text{Fe}_2\text{MoSi}_2)$ и $\tau_2(\text{Mo}_3\text{FeSi})$, при этом только τ_1 кристаллизуется непосредственно из жидкости. Растворение Si в Fe_2Mo повышает температурный предел существования этого соединения до 1200° С. Тройные растворы на основе R-фазы системы Fe—Mo и соединения Fe_5Si_3 системы Fe—Si стабильны при более низких т-рах, чем в бинарных системах. Для т-р выше и ниже 800° С построены схемы, отражающие последовательность проходящих в системе реакций. При комнатной т-ре в равновесии находятся фазы τ_1 , τ_2 , FeSi , FeSi_2 , MoSi_2 , Mo_5Si_3 , Mo_3Si , Fe_2Mo , Fe_7Mo_6 , а также

MoSi_x ⑦
сб. 1985, 18, N/2

твёрдые растворы на основе Fe, Mo и Si. Библ. 31.
И. А. Корсунская



Fe-Si

1986

Hoch Michael.

Compet. Coupling

Phase Diagrams

Thermochem. 1986,
10(1), 49-59.



(see Fe-C; I)

newsg.

cb-6a

Fe₂Si

1986

Корноб C.B., Баранов
C.M. и gp.

менсо-
бсе
расеве-
реие

Физ. магн. ме-
(Несколько), 1986,
28, № 918 - 921. —
(см. Mn_x Fe_{1-x}Si; Л)

Fe_3Si

1986

2 Б2015. Изучение пластической деформации и структуры примерно стехиометрического Fe_3Si при высокой температуре. Часть 1: пластическая деформация монокристалла Fe—Si. High-temperature creep and structure investigation of nearly stoichiometric Fe_3Si . Pt 1: Creep behaviour of Fe—Si single crystals. Оегттель С. Г., Крамер У., Кляйнштук К. «J. Mater. Sci.», 1986, 21, № 7, 2585—2589 (англ.)

Проведено электронно-микроскопич. исследование образцов Fe_3Si (11—26 ат% Si, СТ DO_3), подвергнутых пластич. деформации при 40—250 МПа в т-рном интервале 450—850° С. При анализе скорости развития дислокаций выявлено две модификации: низкот-рная и высокот-рная с более сильным спин-спиновым взаимодействием в последней. При 500—600° существуют обе фазы.

С. В. Соболева

X. 1987, 19, № 2

FeSi₂

Lee

1987

(16)

| 107: 103734z Formulation of the A2/B2/DO3 atomic ordering
| energy and a thermodynamic analysis of the iron-silicon
| system. Lee, Byeong Joo; Lee, Seh Kwang; Lee, Dong Nyung.
| (Dep. Metall. Eng., Seoul Natl. Univ., Seoul, 151 S. Korea).
CALPHAD: Comput. Coupling Phase Diagrams Thermochem.
1987, 11(3), 253-70 (Eng). The Fe-Si phase diagram is composed of
3 solns. and 5 intermetallic compds. The 3 solns. can be described as
sub-regular solns. unless the magnetic and A2/B2/DO3 at. ordering
reactions take place in the bcc. soln. The A2/B2/DO3 at. ordering
energy formulated on the basis of a C_p -integration method. The
miscibility gap along the B2/DO3 transition temp. <1000K is
attributed to the magnetic and at. ordering reactions. All the
intermetallic compds. except the high temp. FeSi₂ phase are
described as stoichiometric compds. The free energy of the
high-temp. FeSi₂ phase is formulated based on a 2-sublattice model.
The thermodyn. data for all the phases were evaluated and used to
calc. the Fe-Si phase diagram.

c.A.1987, 107, N/2

FeSi_x

1987

1 E621. Выражения для энергии атомного упорядочения A2/B2/ДО3 и термодинамический анализ системы Fe—Si. Formulation of the A2/B2/DO3 atomic ordering energy and a thermodynamic analysis of the Fe—Si system. Lee Byeong-joo, Lee Seh Kwang, Lee Dong Nyung. «CALPHAD», 1987, 11, № 3, 253—270 (англ.)
Место хранения ГПНТБ СССР

sf
Проведен термодинамич. расчет диаграммы состояния Fe—Si, обобщающей данные по фазовым равновесиям между тремя растворами и пятью интерметаллич. соединениями. Свойства растворов описаны в приближении субрегулярных растворов, в случае ОЦК-фазы учтены также вклады, соответствующие магнитному и атомному упорядочению. С использованием представлений Брэгга — Вильямса — Горского и метода C_p -интегрирования составлены выражения для изменений энергии при фазовых переходах между A2 (разупорядоченная ОЦК), B2 (типа CsCl) и ДО3 (упорядочен-

φ. 1988, 18, n1

ная, типа BiF_3) структурами. Сделано допущение об отсутствии областей гомогенности у всех соединений, за исключением FeSi_2 . Для свободной энергии соединения FeSi_2 , стабильного при высоких т-рах, принята модель двух подрешеток. Полученные выражения использованы в вычислительной программе, включающей процедуру оптимизации параметров взаимодействия методом вариации канод и позволяющей провести расчет термодинамич. свойств сплавов и фазовой диаграммы системы Fe—Si. Наблюдается хорошее согласие с экспериментом, в частности рассчитанного купола расслоения вдоль границы В2/ДОЗ. Библ. 22.

И. А. Корсунская



Fe Six

Sharma

1987

107: 220651f Determination of thermodynamic properties of (iron, magnesium)-pyroxenes at 1000 K by the emf method. Sharma, K. C.; Agrawal, R. D.; Kapoor, M. L. (Metall. Eng. Dep., M.R. Eng. Coll., Jaipur, India). *Earth Planet. Sci. Lett.* 1987, 85(1-3), 302-10 (Eng). Emf measurements made on the cell Pt/Fe_x(Fe,Mg)_{1-x}Si₂O₆,SiO₂/(ZrO₂)_{0.85}(CaO)_{0.15}/Fe,FeO/Pt at 1000 K were used to calc. the std. free energy of formation of ferrosilite (-6.35 ± 0.80 kJ/mol) from the component oxides FeO and SiO₂. The activity-comprn. relation for pyroxene solid soln. shows that it has a pos. deviation from ideality at 1000 K. The integral free energy of mixing and integral excess free energy of mixing for pyroxene solid solns. were calcd. and plotted against the mol fraction of FeSiO₃.

Aff)

C.A. 1987, 107, N24

Fe_{1-x}Si_x

1988

19 Б2016. Параметры решетки монокристаллов сплавов Fe—Si. Lattice parameters of Fe—Si alloy single crystals. Polcarová M., Godvod K., Bak-Misiuk J., Kadečková S. «Phys. status solidi», 1988, A106, № 1, 17—23 (англ.; рез. нем.)

Проведено прецизионное рентгенографич. определение параметров кубич. решеток монокристаллов сплавов $\text{Fe}_{1-x}\text{Si}_x$, где $x = 0; 1,04; 6,04; 6,75$, тремя методами: трехкристальный дифрактометр, Бонда, отношений. Параметр a для чистого Fe равен $0,286652 \pm 0,000002$ нм и убывает при возрастании содержания Si с наклоном $\Delta a / \Delta C = -0,000069$ нм/% ат. Si. Результаты не противоречат известным ранее в пределах ошибки эксперимента. Обсуждено влияние магнитострикции на точность измерений. Параметры решетки могут служить критерием конц-ии Si до 10% ат.

А. Ю. Шашков

структура

х. 1988, 19, n 19

Fe_3Si

1988

Sommer F.

J. Therm. Anal. 1988.

33, N 1. C. 15-28.

(c.c. $\text{Fe}_{0,75}\text{Al}_{0,25}$)^T

Fe-Si

1988

Sudavitsova V.S.,
Kurach V.P. et al.

($\Delta_{\text{mix}} H$) Izv. Akad. Nauk SSSR,
Met. 1988, (3), 61-2.

(cel. Fe-W; I)

Fesi (Om. 31181)

1989

Бондареко Т.П., Судеб-
ного В.С.,

ДН;

Укр. хем. зв. 1989, 55,
N 1, 23-24.

FeSi_2

1989

Горы р. А. Ил.;
Загворенки р. Ил. и пр.

T_m

5 Вес. конс. по Краснову,
достаточно температуре
сост.: Тег. гори, Небоб, 14-
19 Октябрь, 1989. Небоб, 1989
с. 132. (сост. MnSi , 43; I)

1989

FeSi₂

(II_{t2})

17 Б2330. Полупроводниковые и термоэлектрические свойства керамического дисилицида железа. Semiconducting and thermoelectric properties of sintered iron disilicide / Kojima T. // Phys. status solidi. A.—1989.—111, № 1.—С. 233—242.—Англ.; рез. нем.

Аргонно-дуговым сплавлением соотв. дисилицидов металлов с послед. горячим прессованием и отжигом при т-рах 1100—1400 К получены образцы $Fe_{1-x}Mn_xSi_2$ (I) с $x \leq 0,08$ и $Fe_{1-y}Co_ySi_2$ (II) с $0,05 \leq y \leq 0,1$. При т-рах 80—1400 К изучены электросопротивление (ρ), термо-э.д.с. (S) и коэф. Холла (R_H) для I, II. Установлено, что I, II при т-ре $T_c \approx 1259$ К испытывают переход полупроводник — металл, ниже к-рой они проявляют полупроводниковые св-ва. При этом добавки Mn и Co в I, II являются соотв. акцепторной и донорной примесями. Найдено, что ширина запрещенной зоны I при $x=0$ и $T \rightarrow 0$ К составляет $E_g = 1,00$ эВ. С ростом x величина E_g падает от 0,95 до 0,83 эВ. При т-ре 150 К и ниже изменение энергии активации проводимости I объяснено проводимостью на малых поляронах с учетом искажений крист. решетки II.

Б. В. Волков

X.1989, N 17

FeSi

1989

) 10 E281. Динамика решетки и теплофизические свойства моносилицидов железа и кобальта / Иванов А. С., Митрофанов Н. Л., Румянцев А. Ю., Гельд П. В., Повзнер А. А., Кортов С. В. // Вопр. атом. науки и техн. Сер. ядер.-физ. исслед. (Теория и эксперимент) (Москва).— 1989.— № 2.— С. 79—80

Исследовались кривые дисперсии фононов в FeSi и CoSi. Измерения проводились при комн. т-ре методом неупругого рассеяния нейтронов на трехосном кристаллич. спектрометре. Показано, что акустические фононныe ветви FeSi и CoSi качественно подобны. Оцененные по линейным ($\hbar\omega \sim q$) участкам кривых дисперсии характеристич. т-ры Дебая оказались близки 560 К для FeSi и 520 К для CoSi.

φ. 1989, N/10

FeSi

1989

/ 112: 43679b Reactions in the systems iron monosilicide-niobium(zirconium). Sudaytsova, V. S.; Zelenina, L. N.; Sharkina, N. O. (Kiev. Gos. Univ., Kiev, USSR). *Izv. Akad. Nauk SSSR, Neorg. Mater.* 1989, 25(9), 1569-70 (Russ). Partial and total heats of mixing were detd. at 1887 and 1870 K for the systems FeSi-Nb and FeSi-Zr. The content of Nb varied between 0 and 40 at.%; that of Zr between 0 and 20 at.%. All the mixing reactions were exothermic. The energies of interaction of similar systems follow the order FeSi-Nb ~ FeSi-La → FeSi-Y → FeSi-Zr.

(SH)

C.A.1990, 112, N.6

Fe-Si

1989

24 Б3087. Энталпии образования расплавов системы Fe—Si—B / Витусевич В. Т., Щерецкий А. А., Би-лецкий А. К., Шумихин В. С. // Расплавы.— 1989.— № 4.— С. 102—105.— Рус.

Методом изопериболич. калориметрии измерены энталпии образования расплавов Fe—Si (1873 ± 10 K), Fe—B, Si—B, Fe—Si—B (1900 ± 15 K) во всей обл. гомог. р-ров. Результаты представлены графически. Установлено микронеоднородное строение тройных расплавов. Характер концентрац. зависимостей парц. функций объясняется образованием комплексов Fe_2B , FeB и Si_2B в граничных бинарных расплавах, а также $(\text{Fe}_{1-x}\text{Si}_x)_n\text{B}$ в трехкомпонентных жидк. сплавах, где $n=1-4$. А. С. Гузей

ДК

④⊗

Х. 1989, № 24



Fe-Si-B

$\text{FeSiF}_6 \cdot 6\text{H}_2\text{O}$

1990

7 Э684. К вопросу о фазовых переходах в $\text{FeSiF}_6 \cdot 6\text{H}_2\text{O}$ под давлением. $P-T$ -диаграмма / Асадов С. К., Завадский Э. А., Каменев В. И., Тодрис Б. М. // Физ. низ. температур.— 1990.— 16, № 12.— С. 1584—1587.— Рез. англ.

Методом рентгенифрактометрии и ДТА изучено влияние т-ры и гидростатич. давления на $\text{FeSiF}_6 \cdot 6\text{H}_2\text{O}$. Построена $P-T$ -диаграмма, отражающая уникальное многообразие кристаллич. фаз и фазовых переходов между ними.

Резюме

T
 H_2

сф. 1991, № 7

Fesig

1990

5 Б3008. Термоэлемент из дисилицида железа /
Imai T. // Кагаку то коге=Sci. and Ind.— 1990.— 64,
№ 8.— С. 25—28.— Яп.

Исследованы некоторые термоэлектрич. св-ва чистого
и легированного дисилицида железа. Изучены и обсуж-
дены также х-ки $p-n$ -перехода в дисилициде железа
при т-рах 800—880° С. В. Ф. Байбуз

Tez

X. 1991, N5

FeSi₂

1990

) 23 Б3090. Образование $\beta\text{-FeSi}_2$ из спеченного эвтектического сплава FeSi—Fe₂Si₅, легированного кобальтом. Formation of $\beta\text{-FeSi}_2$ from the sintered eutectic alloy FeSi—Fe₂Si₅ doped with cobalt / Kojima T., Masumoto K., Okamoto M. A., Nishida I. // J. Less-Common Metals.— 1990.— 159, № 1—2.— С. 299—305.— Англ.

Методом РФА, а также измерениями электросопротивления и термо-Э. д. с. образцов изучено образование и рост $\beta\text{-FeSi}_2$ (I) из спеченного эвтектич. сплава $\varepsilon\text{-FeSi}$ (II) и $\alpha\text{-Fe}_2\text{Si}_5$ (III). Образцы получены методом порошковой металлургии, и отожжены при т-рах 1073—1173 К. $\varepsilon\text{-II}$ и $\alpha\text{-III}$ превращаются в β -фазу при 1128 К. Скорость роста β -фазы уменьшается с увеличением конц-ии кобальта. Электросопротивление образцов возрастает с увеличением кол-ва β -фазы. Установлено, что образование β -фазы протекает по двум механизмам выше и ниже 1128 К. Л. Г. Титов

(kp)

X. 1990, № 23

FeSi₂

1990

› 23 Б3089. Изучение образования $Fe_{1-x}Mn_xSi_2$ из спеченного эвтектического сплава $FeSi-Fe_2Si_5$ с добавками марганца. Study on the formation of $Fe_{1-x}Mn_xSi_2$ from the sintered $FeSi-Fe_2Si_5$ eutectic alloy doped with manganese / Kojima T., Sakata M., Nishida I. // J. Less-Common Metals.— 1990.— 162, № 1.— С. 39—49.— Англ.

(kp)

С помощью РФА, измерения электросопротивления (ρ) и ТЭДС(Q) изучено образование и рост фазы β - $FeSi_2$ из спеченного эвтектич. сплава ϵ - $FeSi$ и α - Fe_2Si_5 и допированного Mn при т-ре отжига 1073—1173 К. Найдено, что из полностью отожженного сплава $(1-x)FeSi_2-xMnSi_2$ образовывалась β -фаза при $0 < x < 0,108$, при этом параметры решетки a и c линейно возрастали при увеличении значения x , значение параметра a не зависит от x . Значения ρ и Q увеличиваются с повышением содержания β -фазы в образце. На графиках зависимости ρ и Q от т-ры отжига обна-

X. 1990, N 23

ружены два максимума и минимум, при этом соотв-щие им т-ры для образца с $x=0,01$ составили 1115, 1135 и 1128 К, значения этих т-р снижаются с увеличением значения x . По данным РФА, механизм образования β -фазы допированного и недопированного образца различаются. Оптим. т-ра отжига с целью образования β -фазы соответствует значениям пиков о или Q .

Б. Г. Коршунов



Fe Si₂

1990

1 E814. Образование β -FeSi₂ из спеченного эвтектического сплава FeSi—Fe₂Si₅, легированного кобальтом. Formation of β -FeSi₂ from the sintered eutectic alloy FeSi—Fe₂Si₅ doped with cobalt / Kojima T., Masumoto K., Okamoto M. A., Nishida I. // J. Less-Common Metals.— 1990.— 159, № 1—2.— С. 299—305.— Англ.

Методами рентгенографии, измерения электросопротивления (ρ) и термо-э.д.с. изучены процессы, происходящие при отжиге при 1073—1173 К смеси ϵ -FeSi и α -Fe₂Si₃. На кривых $\rho(T)$ обнаружены два пика при 1115 и 1135 К с минимумом при $T_{kp}=1128$ К. Рентгенографич. исследование показало, что при $T < T_{kp}$ происходит распад $\alpha \rightarrow \beta + Si$ и последующее превращение $Si + \epsilon \rightarrow \beta$, а при $T > T_{kp}$ — только перитектич. реакция $\alpha + \epsilon \rightarrow \beta$. Оптимальные условия образования β -FeSi₂ — отжиг при 1113 К в течение 20 ч. Введение CoSi₂ приводит к увеличению параметра a решетки β -FeSi₂ вплоть до содержания CoSi₂, 0,116. Е. З. С.

(T₂)

1991, N 1

FeSiC

1991

114: 254753g Electrochemical behavior of ferrosilicides (Fe_xSi) in neutral and alkaline aqueous electrolytes. I. Thermodynamics of iron-silicon-water systems at 298 K. Kelsall, G. H.; Williams, R. A. (Dep. Miner. Resour. Eng., Imp. Coll., London, UK SW7 2BP). *J. Electrochem. Soc.* 1991, 138(4), 931-40 (Eng). The thermodyn. of Fe-Si-H₂ systems are summarized in the form of Si(IV), Fe(II), and Fe(III) activity-pH, Fe(III) activity-Cl⁻ activity, and potential-pH diagrams, caled. from std. Gibbs energies of formation of the various species considered. The semiconducting compd. Fe_2SiO_4 was predicted to have an area of stability in the potential pH diagram. However, the propensity of silicon to oxidize in preference to iron at low potentials leads to an area of coexistence of elemental iron and SiO₂, from which Fe_2SiO_4 would have to be formed at higher potentials; hence, a meta-stable diagram is presented in which such iron-silicon compds. are excluded from consideration.

④ 18

C.A. 1991, 114, N26



Fe_2SiO_4

Felix

1991

20 Б3046. Новый синтетический метод получения развивающихся твердых фаз: селективный синтез силицидов железа через аморфное состояние. New synthetic approach to extended solids: selective synthesis of iron silicides via the amorphous state / Novet Thomas, Johnson David G. // J. Amer. Chem. Soc.— 1991.— 113, № 9.— С. 3398—3403.— Англ.

(Tz)

Предложен новый метод синтеза композитов с направленной кристаллизацией, заключающейся в том, что полученные электронно-лучевым осаждением слои Fe и Si толщиной 30 Å в аморф. состоянии за счет диффузии при достаточно низких т-рах (80—400°С) образуют слои аморф. силицидов, причем при осаждении контролируют состав, толщину слоев и др. х-ки. В дальнейшем отжигом и направленной кристаллизацией силицидов формируют крист. силициды. Полученные силициды изучены методами ДСК и рентгенографии. Все силициды кристаллизуются ниже 550°С, включая Fe_5Si_3 , к-рый метастабилен по отношению к смеси $FeSi$ и $FeSi_3$ ниже 825°С.

Л. Г. Титов

Х. 1991; № 20

*FeSi, Fe₂Si,
FeSi₂*

1991

5 Б3069. Термодинамические свойства твердых и жидких сплавов системы Fe—Si / Зайцев А. И., Земченко М. А., Могутнов Б. М. // Тез. докл. 13 Всес. конф. по хим. термодинам. и калориметрии, Красноярск, 24—26 сент., 1991. Т. 2.— Красноярск, 1991.— С. 197—199.— Рус.

Эффузионным методом Кнудсена с масс-спектральным анализом продуктов испарения исследованы тв. и жидк. сплавы Fe—Si в интервале т-р 1351—1782 К и составов 9,2—82,2 ат.% Fe. Из данных для двухфазных равновесий рассчитаны $\Delta_f G = -A + BT$ (Дж/моль) тв. фаз FeSi (I), Fe₂Si (II) и FeSi₂ (III). Коэф. A и B составили соотв.: I 39 027 и 3,40; II 30 868 и 0,604; III, гексагон. 24 149 и 1,72. Анализ концентрац. зависимостей ряда структурочувствительных св-в расплавов свидетельствует о протекании в них ассоциативных р-ций в широком диапазоне составов. В соответствии с этим результаты были аппроксимированы моделью

(Abf, ΔHf)

X·1992, N5

идеальных ассоциированных р-ров в предположении образования группировок I—III и Fe_3Si (IV). Оптимизац. процедура использовала более 400 значений активностей Si и Fe. Полученные значения $-\Delta_f H^\circ$ и $-\Delta_f S^\circ$ для образования ассоциативных группировок составили: I 99 814 Дж/моль и 23,70 Дж/моль·К; II 110 360 и 16,28; III 101 345 и 29,37; IV 143 673 и 28,63.

А. С. Гузей

FeSi , Fe_xSi , Fe_3Si , FeSi_2

1991

116: 28907p Thermodynamic properties of silicon-iron mixtures $\{(1 - x)\text{Si} + x\text{Fe}\}(l)$. Zaitsev, A. I.; Zemchenko, M. A.; Mogutnov, B. M. (I. P. Bardin Cent. Res. Inst. Iron Steel Ind., 107005 Moscow, USSR). *J. Chem. Thermodyn.* 1991, 23(9), 831-49 (Eng). A Knudsen-effusion method with a mass-spectrometric anal. of evapn. products was used to det. the thermodn. properties of $\{(1-x)\text{Si} + x\text{Fe}\}(l)$. The temp. and mole-fraction range investigated were 1496 to 1752 K and $x = 0.092$ to 0.822. Measurements were carried out with the help of double effusion cells. Activities and partial thermodn. functions of both components were calcd. from the values of p_{Fe} and p_{Si} found. Partial characteristics of Si were also obtained by integration of the Gibbs-Duhem equations with the help of α_{Fe} and β_{Fe} functions as well as by means of the measured $I(\text{Fe}^+)/I(\text{Si}^+)$ ratios. In all cases good agreement between the values found in different ways was obsd. This confirms the existence of equil. in the effusion cell and proves also the reliability of the thermodn. information acquired. Asym. mole-fraction functions $\Delta_x G_m$ and $\Delta_x H_m$ were obtained for $\{(1 - x)\text{Si} + x\text{Fe}\}(l)$, the extrema being displaced toward the iron corner. An expan. of consumption functions of a set of physicochem. properties of the melts as well as characteristic

P. MacClellan
 $\Delta f_f, \Delta f_H$

C.A. 1992, 116, N 4

shapes of α_{Fe} , β_{Fe} , and curves of $\partial^2 G_m E / \partial x^2$ against x made it possible to conclude that an assocn. process occurs in $\{(1-x)Si + xFe\}(l)$ over a wide mole-fraction range. In accordance with it the thermodn. properties of $\{(1-x)Si + xFe\}(l)$ were approximated by the ideal-assocd.-soln. model. Complexes FeSi, Fe₂Si, Fe₃Si, and FeSi₂ were supposed to exist in the liq. soln. It was shown that any other set of assocd. complex does not lead to an adequate description. Thermodn. characteristics of formation of the (iron + silicon) melts obtained in the present investigation agree well with most reliable values of $\Delta_f G_{max}$, $\Delta_f H_{max}$, and component activities, as well as with the phase diagram of $\{(1-x)Si + xFe\}$.

1991

18 Б3038. Термодинамические свойства $\{(1-x)Si + xFe\}$ (I). Thermodynamic properties of $\{(1-x)Si + xFe\}$ (I) / Zaitsev A. I., Zemchenko M. A., Mogutnov B. M. // J. Chem. Thermodyn.— 1991.— 23, № 9.— С. 831—849.— Англ.

Эффузионным методом Кнудсена с использованием масс-спектрометра изучено испарение расплавов $(1-x)Si + xFe$ в области т-р 1496—182 К и составов $0,092 \leq x \leq 0,822$. Из парц. давлений Fe и Si вычислены и табулированы их активности и парц. термодинамич. функции в расплавах. Наблюдалась асимметрич. зависимость Δ_fG и Δ_fH от состава с экстремумами, сдвинутыми к Fe. Миним. значения при 1700 К $\Delta_fG = -34,5$ и $\Delta_fH = -40,2$ кДж/моль соответствуют $x = 0,57$ и $0,535$. На основании рассмотрения зависимостей физ. хим. св-в от состава сделано заключение о наличии ассоциац. процессов в широкой области составов. Система аппро-

$K_p, \Delta f, \Delta H$

X. 1992, N 18

ксимируется в рамках модели идеальных ассоциированных р-ров при допущении существования комплексов FeSi , Fe_2Si , Fe_3Si и FeSi_2 , для к-рых расчетные значения $-\Delta_f H_0$ и $-\Delta_f S_0$ составили соотв.: 99 814 Дж/моль и 23,70 Дж/моль. К; 110 860 и 16,28; 143 678 и 28,63; 101 345 и 29,37. Показано, что любой иной ряд ассоциированных комплексов не приводит к адекватному описанию. Библ. 57.

А. С. Гузей



1991

FeSi
FeSi χ

19 Б3046. Термодинамические свойства силицидов железа и фазовые равновесия в системе $\{(1-x)Si + xFe\}$. Thermodynamic properties of iron silicides and phase equilibria in $\{(1-x)Si + xFe\}$ /Zaitsev A. I., Zemchenko M. A., Mogutnov B. M. //J. Chem. Thermodyn. —1991 .—23 ,№ 10 .—C. 933—940 .—Англ.

С использованием эффузионного метода Кнудсена и масс-спектрометрич. анализа продуктов испарения определены термодинамич. св-ва сплавов системы $(1-x)Si + xFe$ (I) при т-рах 1351—1664 К для x от 0,349 до 0,649. Исследованы сплавы с составами, относящимися к каждому из двух полей равновесий двух тв. фаз и к областям равновесия между FeSi и жидк. фазой. Определены молярные энергии Гиббса образования FeSi, а также активности и парц. молярные термодинамич. ф-ции Fe и Si. Для системы I рассчитаны фазовые равновесия и построена фазовая диаграмма. Определены молярные энталпии и энтропии образования и молярные энталпии и энтропии плавления силицидов железа FeSi, FeSi₂, Fe₂Si и Fe₃Si — промежут. фаз в системе (I). В частности для энталпии и энтропии образования FeSi при 298,15 К получены значения —35 901 Дж/моль и —0,06 Дж/(К·моль) соотвественно.

В. Ф. Байбуз

(ΔH_m, ΔS_f)

Х. 1992, № 19

Felix

1991

115: 288472u Thermodynamic properties of iron silicides and phase equilibria in the silicon-iron system. Zaitsev, A. I.; Zemchenko, M. A.; Megutnov, B. M. (I. P. Bardin Cent. Res. Inst. Iron Steel Ind., 107005 Moscow, USSR). *J. Chem. Thermodyn.* 1991, 23(10), 933-40 (Eng). A Knudsen-effusion technique with mass-spectrometric anal. of evapn. products was used to det. thermodn. properties of $\{(1 - x)Si + xFe\}$ alloys. The temp. and mole-fraction ranges investigated were $T = 1351$ to 1664 K and $x = 0.349$ to 0.646 . Alloys with compns. belonging to each of the two equil. fields of two solid phases and to the regions of equil. between FeSi and liq. phase were studied. Activities and partial molar thermodn. functions of Fe and Si were calcd. from the values of p_{Fe} and p_{Si} found. The minimal values of $\Delta_f G_m$ and $\Delta_f H_m$ with respect to their dependence on mole fraction were found at 1423 K to correspond to iron monosilicide. Computations of a no. of phase equil. in $\{(1 - x)Si + xFe\}$ have been carried out to prove the reliability of the thermodn. information acquired. Temp. dependences of the molar Gibbs energies of formation of the intermediate phases established in the present work as well as thermodn. characteristics of formation of the associative complexes reported previously were used for the purpose. The coordinates of melting temps. of iron silicides were found to coincide with those recommended in the literature.

($\Delta f, \Delta H$)

C.A. 1991, 115,
N26

FeSi_{2,2}

1992

FeSi_{3,3}

14 Б3063. Плотность кремния, силицидов железа и металлургического ферросилиция / Чернов Р. В. // Неорган. матер.— 1992.— 28, № 1.— С. 78—80.— Рус.

Плотность кремнийсодержащих фаз изучена пикнометрич. методом, обеспечивающим точность определений до 0,01 %. При т-рах 10—50° С изучены полимеры ρ металлургич. ферросилиция ФС-75 и ФС-65 (ГОСТ 1415-70), силицидов железа FeSi_{2,2} и FeSi_{3,3}, крист. и полупроводникового кремния. Отмечено аномальное изменение плотности кремния, а также кремний- и железосодержащих фаз в интервале 30—47° С, предположительно связываемое с фазовым переходом.

T_{t2}, плотн.

X. 1992, N 14

Felix

1992

› 4 Б3011. Модельное описание термодинамических
свойств жидких сплавов железа с кремнием /Гельд П. В.,
Сидоров О. Ю. //Докл. АН (Россия) .—1992 .—323 ,№ 4
—С. 682—686 .—Рус.

Fe

*термодин.
св-ва*

X. 1993, N 4

FeSiC

1992

| 1 ИЗ02. Модельное описание термодинамических
свойств жидких сплавов железа с кремнием / Гельд П.
В., Сидоров О. Ю. // Докл. АН (Россия). — 1992. —
323, № 4. — С. 682—686. — Рус.

FeSiC

термодин.
Сб-фа

phi 1993, N 1

Fe Si

1992

III Fe Si

(+) IX

Cp

8 Е199. Теплоемкость и термическое расширение твердых растворов на основе низших силицидов железа и марганца / Луцкая Л. Ф. // Неорган. матер.—1992.— 28, № 2.— С. 353—357

Исследована теплоемкость твердых растворов $(Fe_{1-x}Mn_x)_4Si$ с $x=0,3; 0,5; 0,6$, а также низшего силицида железа и сплава $(Fe_{0,9}Co_{0,1})_3Si$ в интервале т-р 12,5—300 К и тепловое расширение $(Fe_{1-x}Mn_x)_3Si$, где $x=0,3; 0,33; 0,4; 0,5$, при 40—300 К. В твердых растворах $(Fe_{1-x}Mn_x)_4Si$ ($0,3 \leq x \leq 0,6$) магн. превращения при т-рах перестройки магн. порядка T_n можно считать смешанными фазовыми переходами первого и второго рода.

φ 1992, N 8

Felin

1992

17 Б3007. Термоемкость и термическое расширение твердых растворов на основе низших силицидов железа и марганца / Луцкая Л. Ф. // Неорган. матер.— 1992.— 28, № 2.— С. 353—357.— Рус.

Исследована теплоемкость тв. р-ров $(Fe_{1-x}Mn_x)_3Si$ (I) с $x=0,3; 0,5; 0,6$, а также низшего силицида железа и сплава $(Fe_{0,9}Co_{0,1})_3Si$ в интервале т-р 12,5—300 К и термич. расширение I, где $x=0,3; 0,33; 0,4; 0,5$ при 40—300 К. В тв. р-рах I (где $0,3 \leq x \leq 0,6$) магнитные превращения при т-рах перестройки магнитного порядка T_n можно считать смешанными фазовыми переходами первого и второго рода. В этих образцах низкот-рные магнитные переходы сопровождаются искажениями их крист. структуры. Для сплавов Fe_3Si и $(Fe_{0,9}Co_{0,1})_3Si$ рассчитаны электронная (γ) и решеточная (β) составляющие теплоемкости, дебаевские т-ры и плотности состояний электронов на уровне Ферми. Для Fe_3Si γ составляет $(40,2 \pm 3,9) \cdot 10^{-4}$ Дж/ $(\text{г-ат}\cdot\text{K}^2)$, β $(21,7 \pm 0,1) \cdot 10^{-6}$ Дж/ $(\text{г-ат}\cdot\text{K}^4)$. Для $(Fe_{0,9}Co_{0,1})_3Si$ γ $(32,6 \pm 1,2) \cdot 10^{-4}$ Дж/ $(\text{г-ат}\cdot\text{K}^2)$ и β $(19,8 \pm 0,3) \cdot 10^{-6}$ Дж/ $(\text{г-ат}\cdot\text{K}^4)$.

(4)

ж. 1992, N 17

F₃Si

1992

1 E220. Низкотемпературные теплофизические свойства Fe₃Si. Low-temperature thermophysical properties of Fe₃Si
Miles J. R., Smith T. F., Finlayson T. R. // Phil. Mag. B — 1992. — 65, № 6. — С. 1215—1222. — Англ.

Приводятся результаты исследования коэф. теплового расширения (КТР) Fe₃Si в области 2—300К. Измерения выполнены дилатометрич. методом. Показано, что температурная зависимость КТР описывается суммой электронной и решеточной составляющих, причем электронная составляющая отрицательна по знаку. Вследствие этого в области т-р ниже 24К КТР отрицателен. Обращается внимание на то, что заметного вклада в КТР от спиновых волн не обнаружено. По полученным данным КТР и литер. значениям теплоемкости определены параметры Грюнайзена. Полученные данные, как отмечается, свидетельствуют о большой электронной плотности на поверхности Ферми.

*Металлическ.
16-82*

Ф. 1993, № 1

Fe-P-Si

1993

7 Б3046. Термодинамика системи Fe—P—Si /Башаєва. Л. А., Левинтов Б. Л., Кунаев А. М. /7/6 Науково-техн. семін. по фосфору «Наукові і матеріалознавчі пробл. хімії фосфору і його неорганіч. сполук» («Фосфор України-93»), Львів, 27—30 вересня, 1993: Тез. доповідей.—Львів, 1993.—С. 58.—Рус.

X. 1994, № 7

Fe₃Si

1993

8 Б3044. Термическая устойчивость нанокристаллических сплавов Fe—Si—Nb, приготовленных механическим сплавлением. The thermal stability of nanocrystalline Fe—Si—Nb prepared by mechanical alloying /Gao Z., Fultz B. //Nanostruct. Mater. .—1993 .—2 ,№ 3 .—С. 231—240 .—Англ.

Методами рентгенодифрактометрии, мессбауэровской спектрометрии и просвечивающей электронной микроскопии исследована термич. устойчивость нанокрист. фаз сплавов Fe₃Si и (Fe₃Si)_{0,95}Nb_{0,05}, приготовленных мех. сплавлением с использованием высокоэнергетич. шаровой мельницы и имевших размер зерен 7—9 нм. При отжиге при 450° С наблюдалась три типа неустойчивости: неустойчивость по отношению к росту зерна, неустойчивость в зависимости от образования порядка DO₃ и в тройном сплаве неустойчивость по отношению к сегрегации ниobia. Сплав, содержащий Nb, значительно более устойчив к росту зерна, чем сплав Fe₃Si, и несколько более устойчив по отношению к упорядочению. Ниобий отделяется от областей упорядоченной структуры DO₃, по-видимому, к границам зерен. Предполагается, что процессы роста зерен, упорядочения и сегрегации ниobia взаимосвязаны. Библ. 35.

В. Ф. Байбуз

*термич.
устойчивость*

48

X.1994, N 8

Fe + Si mixture

1994

122: 17984j Partial and integral enthalpies of formation of liquid binary melts of iron with silicon. Gel'd, P. V.; Valishev, M. G.; Ermakov, A. F.; Pletneva, E. D. (Ural. Gos. Tekh. Univ., Yekaterinburg, Russia). *Zh. Fiz. Khim.* 1994, 68(9), 1712-14 (Russ). Partial and integral heats of mixing of molten Fe and Si were measured calorimetrically at 1923 K over the entire compn. interval. The results are discussed within the framework of a model for the ideal assocd. solns. and an anal. expression is proposed.

($\Delta_{\text{mix}} H$)

C.A. 1995, 122, N2

Felix

1994

ЗБ3164. Парциальные и интегральные энталпии образования жидкых бинарных сплавов железа с кремнием /Гельд П. В., Валишев М. Г., Ермаков А. Ф., Плетнева Е. Д. //Ж. физ. химии .—1994 .—68 ,№ 9 .—С. 1712—1714 .—Рус.

Калориметрическим методом изучены парц. и интегральные энталпии образования жидк. сплавов железа с кремнием, содержащих от 0 до 100 ат.% кремния, при 1923 К. Проведено обсуждение полученных эксперим. данных в рамках модели идеального ассоциированного р-ра и предложены аналитич. выражения для их описания.

(ΔH)

Х. 1995, № 3

FeSi

1994

122: 94823h Low-temperature magnetic, thermal, and transport properties of FeSi. Hunt, M. B.; Chernikov, M. A.; Felder, E.; Ott, H. R.; Fisk, Z.; Canfield, P. (Lab. Festkoerperphys., Eidgenoessische Tech. Hochsch. Zuerich-Hoenggerberg, 8093 Zuerich, Switz.). *Phys. Rev. B: Condens. Matter* 1994, 50(20), 14933-41 (Eng). The authors have measured the a.c. susceptibility, sp. heat, resistivity, and thermal cond. of single-cryst. samples of FeSi in various temp. ranges between 0.04 and 300 K. The unequivocal result emerges from the a.c. susceptibility data, and is that there is no evidence for any magnetic ordering, at least down to 40 mK. The sp. heat contains a linear contribution visible between 1.5 and 3.5 K, and a slow upturn < 1.5 K. This latter feature, and the obsd. Curie behavior of the a.c. susceptibility can both be quant. accounted for within a model of Anderson-localized states assocd. with impurities, at the level 10^{19} cm⁻³. However, the elec. cond., which is nowhere activated, appears to sat. $\lesssim 5$ K, which would suggest a metallic state. The authors draw attention to numerous similarities between the data and previously published data for the rare-earth compd. SmB₆.

HUGKOMERINP
M, HLCJ, CL-PZ

C.A. 1995, 122, N8

Felix

1994

2 Б3059. Определение равновесных характеристик расплавов Fe—Si с использованием модели идеальных растворов продуктов взаимодействия методами термодинамического моделирования /Моисеев Г. К., Ватолин Н. А., Ильиных Н. И., Зайцева С. И. //Докл. АН (Россия) .—1994 .—337 ,№ 6 .—С. 775—778 .—Рус.

X. 1995, № 2

Fe₃Si

1995

21 Б3109. Образование эпитаксиальных силицидов Fe_{3-x}Si_{1+x} ($0 \leq x \leq 1$) на Si(111). Formation of epitaxial Fe_{3-x}Si_{1+x} ($0 \leq x \leq 1$) silicides on Si(111) /Hong S., Wefzel P., Gewinner G., Bolmont D., Pirri C. //J. Appl. Phys. — 1995. — 78, № 9. — С. 5404—5411. — Англ.

Методом молекуллярнолучевой эпитаксии при комн. т-ре на подложке Si(111) выращены ПЛ Fe_{3-x}Si_{1+x} ($0 \leq x \leq 1$) толщиной 100 Å. Структурные и электронные св-ва ПЛ (после отжига при 950 °C в вакууме) исследованы методом дифракции электронов с низкими энергиями, РФЭС и рентгеновской фотоэмиссионной спектроскопии. Найдено, что при всех x существует одинаковая кубич. структура. Вследствие хим. сдвигов и различий в локальной координации уровни 2pSi, 2p_{3/2} и 3sFe сдвигаются к более высоким энергиям связи. При всех x, кроме x=1, наблюдаются мультиплетные расщепления линии 3sFe.

В. А. Ступников

X. 1996, N 21

$F_2 Si(k)$

On 37981

1995

122: 223394v Thermodynamics of FeSi. Mandrus, D.; Sarrao, J. L.; Migliori, A.; Thompson, J. D.; Fisk, Z. (Los Alamos National Laboratory, Los Alamos, NM 87545 USA). *Phys. Rev. B: Condens. Matter* 1995, 51(8), 4763-7 (Eng). A simple model involving two narrow (≈ 500 K) peaks in the d. of states (DOS) at the edges of a narrow (≈ 1000 K) gap can account for the obse. anomalies in the magnetic susceptibility, sp. heat, thermal expansion, and elastic response of FeSi. The resistivity of FeSi, including the metal-insulator "transition" at about 300 K, is also well described by this model. Recent band-structure calcns., although predicting the correct value for the semiconducting gap, cannot account for the narrow peaks in the DOS which are needed to explain the thermodn. It is concluded that, given the available alternatives, a Kondo insulator description - involving an extreme renormalization of the noninteracting bands - is most appropriate for FeSi.

C_p ,
measured.

c.a. 1995, 122, N18

FeSi₂

1995

15 Б366. Молекулярно-динамическое моделирование с использованием потенциала сильной связи структурного фазового перехода от флюоритного к орторомбическому FeSi₂. Structural phase transition from fluorite to orthorhombic FeSi₂ by tight-binding molecular dynamics simulation / Miglio Leo, Celino Massimo, Meregalli Valeria, Tavazza Francesca // Abstr. Mater. Res. Soc. Fall Meet., Boston, Mass., Nov. 27 — Dec. 1, 1995 .— Boston (Mass.) , 1995 .— С. 1—10 .— Англ.

Tt2

С использованием потенциала сильной связи проведено молекулярно-динамич. моделирование перехода для FeSi₂ от металлич. флюоритовой структуры в полупроводниковую орторомбич. фазу. Поскольку ожидается, что это преобразование смещения приводится в действие ян-теллеровским механизмом, то показано, что использованный потенциал обеспечивает тщательное описание электронной структуры и ее видоизменение с искажениями решетки.

В. Ф. Байбуз

X. NIS, 1996.

1995

F: FeSix

P: 1

5Б349. Термодинамические характеристики расплавов Fe-Si / Монсеев Г. К., Ильиных . И., Ватолин . А., Зайцева С. И. // Ж. физ. химии. 1995. - 69, N 9. - С. 1596-1600. - Рус.

а основании исследования системы Fe-Si-Ag при 1873К предложена расчетная методология для определения активностей, парциальных и интегральных характеристик металлических систем с сильным взаимодействием компонентов. Для определения интегральных избыточных характеристик раствора предложен удобный метод, позволяющий использовать первичные результаты термодинамического моделирования при использовании пакета АСТРА-3.. Кр.

X. 1996, № 5

1995

F: FeSix

P: I

6Б3208. Моделирование равновесных характеристик состава и структуры расплавов Fe-Si / Моисеев Г. К., Ильиных . И., Батолин . А., Зайцева С. И. // Ж. физ. химии. - 1995. - 69, N 9. - С. 1601-1603. - Рус. Модель идеальных р-ров продуктов взаимодействия применена для оценки состава и структуры расплавов Fe-Si. Показано, что полученные характеристики согласуются с экспериментальными данными. Оценены плотности, мольные объемы, теплоемкости и сопротивления исследуемых сплавов.. Ср.

X. 1996, № 6

1995

F: FeSi2[beta]

P: 1

10Б2245. Новый оптоэлектронный материал 'бета'-FeSi[2]. Структура, свойства, получение / Wang Lianwei, Chen Xiangdong, Lin Chenglu, Zou Shichang // Wu Physics. - 1995. - 24, N 2. - C. 83-89. - Кит.

РНЭХ 1994

FeSi

1996

10Б2163. Спиновые флуктуации и низкотемпературные особенности теплового расширения моносилицида железа / Волков А. Г., Кортов С. В., Повзнер А. А. // Физ. низ. температур .— 1996 .— 22, № 10 .— С. 1144—1146 .— Рус. ; рез. укр., англ.

Проведены низкотемпературные измерения термического коэффициента линейного расширения сильного paramагнетика FeSi. Полученные результаты обсуждаются в рамках спин-флуктуационной теории. Показано, что электронная часть термического коэффициента линейного расширения отрицательна в области температур ниже температуры фазового перехода полупроводник—металл, в металлической фазе она становится положительной. Эта особенность термического коэффициента линейного расширения FeSi объясняется перенормированной спиновыми флуктуациями плотности состояния d-электронов.

Испытание
расширения.

Х. 1997, № 10

FeSi

1996

11Б219. Изучение время-пролетной порошковой нейтронографией ϵ -FeSi высокого давления между 0 и 8,5 ГПа. A high-pressure study of ϵ -FeSi, between 0 and 8.5 GPa, by time-of-flight neutron powder diffraction / Wood I. G., David W. I. F., Hull S.,

Price G. D. // J. Appl. Crystallogr.— 1996 .— 29, № 2 .— С. 215—218 .— Аингл.

Соединение ϵ -FeSi получено взаимодействием Fe и Si. Структура изучена при 0—8,5 ГПа время-пролетной порошковой нейтронографией. Во всей области давлений ф. гр. $P2_13$ с $Z = 4$, а $a = 4,49642$ — $4,41409$ Å. Значения координат неизменны: $x_{\text{Fe}} = 0,137$, $x_{\text{Si}} = 0,157$. Уменьшение длин связей $\sim 2\%$ почти однородное. Н. Л. Смирнова

(СМР-РА)

X.1997, N 11

1997

F: Fe3Si

P: 1

7Б2180. Фазовый переход и атомная структура поверхности монокристалла Fe[3]Si(100). Phase transition and atomic structure of an Fe[3]Si(100) single crystal surface : [Pap.] 16th Eur. Conf. Surface Sci., Genova, 9-13 Sept., 1996: ECOSS-16 / Starke U., Meier W., Rath C., Schardt J., Weiss W., Heinz K. // Surface Sci. - 1997. - 377-379. - С. 539-543. Англ.

Методами дифракции медленных электронов и оже-электронной спектроскопии исследована структура.

поверхности объемного образца Fe[3]Si(100). В зависимости от т-ры отжига наблюдались три фазы, различающиеся периодичностью и яркостью дифракц. пятна.айдено, что областями стабильности фаз I, II и III являются $T[1] \leq 400^{\circ}\text{C}$; $525^{\circ} \leq T[II] \leq 625^{\circ}\text{C}$ и $T[III] \geq 680^{\circ}\text{C}$. Проведен подробный анализ структур фаз I, II и III.

1997

F: Fe₃Si

P: 1

7Б2180. Фазовый переход и атомная структура поверхности монокристалла Fe[3]Si(100). Phase transition and atomic structure of an Fe[3]Si(100) single crystal surface : [Pap.] 16th Eur. Conf. Surface Sci., Genova, 9-13 Sept., 1996: ECOSS-16 / Starke U., Meier W., Rath C., Schardt J., WeiSS W., Heinz K. // Surface Sci. - 1997. - 377-379. - С. 539-543. Англ.

Методами дифракции медленных электронов и оже-электронной спектроскопии исследована структура

поверхности объемного образца Fe[3]Si(100). В зависимости от т-ры отжига наблюдались три фазы, различающиеся периодичностью и яркостью дифракц. пятна.айдено, что областями стабильности фаз I, II и III являются $T[1] \leq 400^{\circ}\text{C}$; $525^{\circ} \leq T[II] \leq 625^{\circ}\text{C}$ и $T[III] \geq 680^{\circ}\text{C}$. Проведен подробный анализ структур фаз I, II и III.

1997

F: Fe₃Si

P: 3

7Б2180. Фазовый переход и атомная структура поверхности монокристалла Fe[3]Si(100). Phase transition and atomic structure of an Fe[3]Si(100) single crystal surface : [Pap.] 16th Eur. Conf. Surface Sci., Genova, 9-13 Sept., 1996: ECOSS-16 / Starke U., Meier W., Rath C., Schardt J., Weiss W., Heinz K. // Surface Sci. - 1997. - 377-379. - С. 539-543. Англ.

Методами дифракции медленных электронов и оже-электронной спектроскопии исследована структура поверхности объемного образца Fe[3]Si(100). В зависимости от т-ры отжига наблюдались три фазы, различающиеся периодичностью и яркостью дифракц. пятна.айдено, что областями стабильности фаз I, II и III являются $T[1] \leq 400^{\circ}\text{C}$; $525^{\circ} \leq T[II] \leq 625^{\circ}\text{C}$ и $T[III] \geq 680^{\circ}\text{C}$. Проведен подробный анализ структур фаз I, II и III.

FeSi

1997

128: 66575j Temperature-dependent electronic structure: from heavy fermion behavior to phase stability. Jarlborg, T. (DPMC, University of Geneva, CH-1211 Geneva, Switz.). *Rep. Prog. Phys.* 1997, 60(11), 1305–1349 (Eng), Institute of Physics Publishing. A review with 126 refs. The temp. (T)-dependent d. functional approach and some methods for calcg. bands in structurally disordered systems are described. The band results are used for detg. thermodn. properties. The methods are applied to det. T-dependent properties in systems which are sensitive to temp. as the result of special d.-of-states features at the Fermi energy. Such systems include heavy fermion Ce-compds., FeSi, and fcc. Ce, and the properties are sp. heat enhancements, large magnetic susceptibility, and the α - γ transition, resp. The phase stability of transition metals at high T are studied with the purpose of sepg. the electronic and vibrational effects. T-dependent effects in copper oxides leading to nonlinear electron-phonon coupling are discussed. Finally, calcns. of momentum densities are shown to give a sensitive indication of thermal disorder in alkali metals. It is found that the effects of disorder are often similar to the effects of strong correlation.

NiO_{1.1}
NaCl
Mg, MgI
C₆-f

(H)

C.A. 1998.

128, 16



1) $\text{Ce}(\text{fcc})$

2) Ce - coherency

Fefi

1997

128: 94779x Low-temperature transport, thermodynamic, and optical properties of FeSi. Paschen, S.; Felder, E.; Chernikov, M. A.; Degiorgi, L.; Schwer, H.; Ott, H. R.; Young, D. P.; Sarrao, J. L.; Fisk, Z. (Laboratorium fur Festkorperphysik, Eidgenossische Technische Hochschule-Honggerberg, 8093 Zurich, Switz.). *Phys. Rev. B: Condens. Matter* 1997, 56(20), 12916-12930 (Eng), American Physical Society.

mean-field
CB - FA
ohne
(Cp) 6-3

The authors present a comprehensive series of elec. transport (cond., magnetoresistance, and Hall effect), thermodn. (sp. heat, magnetic susceptibility, and magnetization), and optical (reflectivity) measurements in 0.05-330 K on high-quality FeSi single crystals grown by vapor transport. The entire set of data can consistently be described with the usual relations for a (compensated n type) semiconductor if an unconventional band structure is assumed. Compared to the results of mean-field band-structure calcns., the height of the peaks in the total d. of states around the energy gap is considerably enhanced, implying enhanced effective masses. Most likely correlation effects are the source of these features. At very low temps. there is metallic behavior. A low concn. of correlated itinerant charge carriers coexists with interacting magnetic moments.

C.A. 1998, 128, N8

Fesi

(Om. 42343)

1998

Niesche F.V.; ~~et al.~~,
Kleppa O.J.

g. Alloys Comd.
1998, 267 (1-2), 128-135

454

(Cll. ScSi; I)

1998

F: FeSi

P: 1

131:149478 Electronic structure of crystalline FeSi
and FeGe. Shabanova, N.; Kormilets, V. I.;
Zagrebin, L. D.; Terebova, N. S. (Physicotechnical
Institute, Ural Branch, Russian Academy of Sciences,
Izhevsk, Russia). J Struct. Chem., Volume Date 1998,
39(6), 904-908 (English) 1999 X-ray
photoelectron valence band spectra were recorded for
stoichiometri compds. FeSi and FeGe; their electronic
structure was calcd. by the ab initio full-potential linear

muffin-tin orbital method. For nonmagnetic FeSi, g agreement was obtained between the calcd. densities of states and the X-r photoelectron spectrum in both peak positions and forbidden gap. For FeG which is an antiferromagnet, the nonmagnetic calcn. yields worse agreement expt. and explicitly indicates that the paramagnetic phase is unstable. compds., the calcn. gives a high degree of d-p hybridization and covalence which is estd. quant. In FeGe, the degree of covalence of the Fe-Fe bond higher than that of the Fe-Ge bond.

FeSi (K_P)

2000

(G)

134: 47611a Specific heat measurement of the single-crystal-line FeSi and its theoretical analysis. Takahashi, Yoshinori; Kanomata, Takeshi; Note, Ryunosuke; Nakagawa, Tomohiro (Faculty of Science, Himeji Institute of Technology, Hyogo, Japan 678-1297). *J. Phys. Soc. Jpn.* 2000, 69(12), 4018-4025 (Eng), Physical Society of Japan. The precise measurements of the sp. heat have been done on high-quality samples of FeSi and CoSi with the B20 crystal structure. The magnetic and electronic contributions are extd. by explicitly subtracting phonon contributions. The results are discussed based on the spin fluctuation theory for itinerant electron magnets.

⑦ A
CoSi (K_P)

C.A. 2001, 134, N4